Anexo 1 Datos de caudales aforados mensuales

COMUNICACIÓN INTERNA

342/2024

Cooperativa de Servicios de Agua y Alcantarillado

COSAALT LTDA. TARIJA De: Ing. Pedro Almazán

Cargo: JEFE PRODUCCIÓN Y TRAT.

A: Ing. Marcelo Rodriguez

Cargo: SUB DIRECTOR DE OPERACIONES.

Ref: Información solicitad por el Univ. David

Gutiérrez.

Tarija, 21 de Agosto del año 2024

A tiempo de saludarle muy cordialmente el motivo de la presente es para informar a cerca de la información solicitada por el Univ. David Gutiérrez, de acuerdo al siguiente detalle:

CAUDALES MEDIOS MENSUALES Y PRODUCCCION ANUAL (1/s) GESTIÓN 2020 COSAALT R.L.

SISTEMAS	ENER	FEBRE	MAR	ABR	MAY	JUNI	JULI	AGOS	SEPTIEM	OCTUB	NOVIEMB	DICIEMB
Rincón Victoria	337.1	338 98	332.8	332.	316.	286.	171.	140 15	133.03	140 59		271.83

CAUDALES MEDIOS MENSUALES Y PRODUCCCION ANUAL (1/s) GESTIÓN 2021 COSAALT R.L.

SISTEMAS	ENER	FEBRE	MAR	ABR	MAY	JUNI	JULI	AGOS	SEPTIEM	OCTUB	NOVIEMB	DICIEMB
Rincón Victoria	326.0		332.7	326.	322	303.	216.					
(Desarenador)	4	321.77	5	69	15	05	63	172.75	159.50	142.22	180.87	248.66

CAUDALES MEDIOS MENSUALES Y PRODUCCCION ANUAL (1/s) GESTIÓN 2022 COSAALT R.L.

SISTEMAS	ENER	FEBRE	MAR ZO	ABR	MAY	JUNI	JULI	AGOS TO	SEPTIEM BRE	OCTUB	NOVIEMB RE	DICIEMB
Rincón Victoria	315.6		320.8	313.	308.	228.	182.					
(Desarenador)	6	317.81	1 5	82	09	63	07	148.27	112.99	141.72	119.22	243,43

CAUDALES MEDIOS MENSUALES Y PRODUCCCION ANUAL (1/s) GESTIÓN 2023

COSAALT R.L.

	ENER	FEBRE	MAR	ABR	MAY	JUNI	JULI	AGOS	SEPTIEM	OCTUB	NOVIEMB	DICIEMB
SISTEMAS	0	RO	ZO	IL	0	0	0	TO	BRE	RE	RE	RE
Rincón Victoria	319.5		318.3	336.	323.	292.	190.					
(Desarenador)	5	308.41	1	20	84	47	64	175.12	145.47	141.27	132.69	275.43

CAUDALES MEDIOS MENSUALES Y PRODUCCCION ANUAL (1/s) GESTIÓN 2024

COSAALTRI

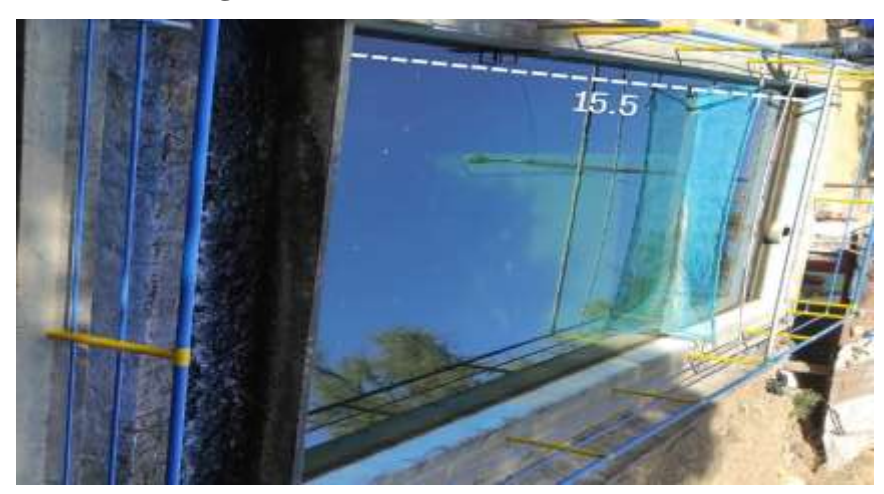
COSMALIN									
SISTEMAS	ENER O	FEBRE RO	MAR ZO	ABR	MAY	JUNI			
Rincón Victoria	315.6	212.62	315.0	318.	325.	279.			

Sin otro particular saludo a usted muy atentamente.

Ing. Pedro Almazan

JEFE DEL DPTO DE PRODUCCIÓN Y TRATAMIENTO

Anexo 2 Imágenes de la estructura del desarenador.



Como se mencionó anteriormente en el documento las medidas estructurales del desarenador fueron necesarias para poder empezar el modelado digital en tres dimensiones. En la imagen podemos observar que el agua parece estar sin movimiento, los componentes que tiene, el tamaño, material de la estructura.

Tubería de salida



El diámetro de esta tubería de salida sería importante para asegurar un flujo adecuado y controlado del agua tratada hacia las siguientes etapas del proceso de potabilización, sin embargo, no se pudo obtener el diámetro de salida, el desgaste y oxidación que muestra la válvula indica que es un equipo antiguo que ha estado en servicio por mucho tiempo en esta planta de tratamiento de agua potable, es esencial que esta válvula funcione de manera confiable para regular y monitorear el caudal de salida del desarenador, lo cual impacta directamente en la eficiencia y calidad del tratamiento final del agua potable.

Desarenador – orificios de salida



En esta parte de la sección de entrada donde se encuentran las aberturas la medición de velocidades, no se pudo realizar ya que la turbulencia que se genera por el choque del flujo con la pared impedía una lectura adecuada.

Mantenimiento y limpieza del desarenador



Se pudo asistirla en el momento de limpieza y mantenimiento del desarenador, donde se pudo observar que para esta actividad se necesita de cuatro personas como mínimo requerimiento de personal para realizar apropiadamente la limpieza ya que el tiempo es un factor muy importante que tiene relación con la cantidad de personal, la limpieza debe durar entre 15 – 30 min como

máximo y se debe poner de nuevo en funcionamiento.

Recolección de medidas faltantes

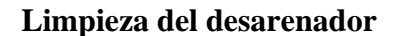


Al encontrarse en estas condiciones de mantenimiento como se observa en la imagen se pudo aprovechar para poder realizar o tomar las medidas interiores del desarenador que a simple vista no se podía tomar o estimar cuando el desarenador estaba lleno.

Verificación de medidas



En la imagen se observa los orificios o aberturas que a simple vista no eran apreciables cuando estaba el desarenador lleno, pero al encontrarse en mantenimiento favoreció la toma de medidas de la separación de orificios.





Se puede observar que las paredes del canal tienen acumulaciones de sedimentos y depósitos, lo que indica que es necesaria una limpieza periódica de este sistema.

La limpieza de este canal se realiza manualmente, con la ayuda de una pala, para raspar y

eliminar los sedimentos y depósitos adheridos a las paredes, esta limpieza se lleva a cabo aproximadamente una vez al mes, lo que permite mantener el adecuado funcionamiento del desarenador.

Durante la temporada de lluvias, cuando hay mayor ingreso de agua y sedimentos, la limpieza se realiza con más frecuencia, cada vez que llueve, para evitar obstrucciones y garantizar la eficiencia del tratamiento, esta labor de limpieza manual es fundamental para asegurar que el sistema de tratamiento de agua potable opere de manera adecuada y eficiente, eliminando los sólidos y sedimentos que se acumulan en el canal.



Orificios de salida

Se pueden apreciar claramente 10 orificios o aberturas en la pared del canal, los cuales permiten la salida del agua potable tratada, el diámetro de cada uno de estos orificios de salida es de aproximadamente 31 centímetros y la separación entre cada uno de estos orificios es de entre 20 a 21 centímetros, este diseño de múltiples salidas de 31 cm de diámetro, con una separación específica entre ellas, es una característica técnica relevante del sistema de tratamiento de agua potable representado en la imagen. Esta configuración ayuda a regular y controlar adecuadamente el flujo y la distribución del agua tratada hacia las siguientes etapas del proceso de potabilización.

La presencia y dimensiones de estos orificios de salida, así como su distribución a lo largo del canal, son aspectos importantes a considerar en el análisis y descripción técnica de este sistema de tratamiento de agua potable





En la parte derecha de la imagen se observa que la base del canal tiene una forma irregular, más parecida a una media luna que a una superficie uniforme, los niveles de las paredes laterales tampoco parecen estar perfectamente alineados y emparejados. Esto refuerza la impresión de que la construcción de esta estructura no se realizó con un alto grado de precisión técnica, sino más bien de manera más rudimentaria.

La irregularidad tanto en la base como en los niveles de las paredes laterales indican que esta probablemente no fue construida siguiendo planos o especificaciones técnicas detalladas, sino más bien mediante un proceso de construcción más artesanal y basado en la experiencia práctica.

Presencia de vegetación en la estructura





La presencia de vegetación, probablemente algas, se observa acumulada en la parte del canal donde el flujo de agua es más turbulento. Esto indica que en esta zona se genera una mayor agitación y aireación del agua, lo cual favorece el crecimiento y acumulación de estos organismos acuáticos, por otro lado, se aprecia que la cantidad de arena o sólidos más gruesos parece ser muy baja o casi inexistente. Esto sugiere que este sistema de tratamiento está diseñado principalmente para retener partículas finas y suspendidas, en lugar de sedimentos más gruesos. La pala que se menciona sería utilizada entonces principalmente para retirar periódicamente esta acumulación de algas y vegetación, que puede llegar a obstruir el flujo adecuado del agua a través del canal. Esta limpieza manual es necesaria para mantener la eficiencia del proceso de separación y clarificación del agua, las características observadas indican que este sistema se enfoca en la remoción de sólidos finos y suspendidos, más que en la separación de arenas u otros sedimentos más gruesos, teniendo a la acumulación de vegetación como uno de los principales retos operativos a manejar.



Canal recolector de salida

En la imagen se puede observar que la rejilla colocada en el canal de salida ha sufrido un

importante proceso de oxidación y deterioro ya que la rejilla está construida con un material metálico que, debido al constante contacto con el agua, se ha oxidado de manera significativa, algunas de las uniones o soldaduras de la rejilla se han llegado a desprender, lo que indica un avanzado estado de deterioro de este componente.

La oxidación y corrosión del material metálico de la rejilla es evidente, lo que afecta su resistencia y durabilidad en este entorno húmedo y corrosivo, este tipo de desgaste y deterioro de los elementos metálicos expuestos al agua es un desafío común en este tipo de infraestructuras de tratamiento. Requiere un monitoreo y mantenimiento regular para asegurar el correcto funcionamiento y evitar obstrucciones o fallos en el sistema.

La observación de estas condiciones de la rejilla aporta información relevante sobre los retos de operación y mantenimiento que enfrenta este sistema de tratamiento de agua.

El desarenador cuenta con una escalera la cual se utiliza para descender y realizar el mantenimiento de limpieza esto se puede observar en la imagen que se adjunta a continuación.



Acceso para realizar el mantenimiento y limpieza

Dado el contexto del sistema de tratamiento de agua, esta revisión de la tubería de salida es importante para asegurar el correcto funcionamiento y la adecuada transferencia del agua tratada hacia las siguientes etapas del proceso.

Tubería de salida



Tubería de desfogue



Según lo que se observa en la imagen, existe una tubería de desfogue o descarga conectada al sistema del desarenador. Esta tubería cumple la función de permitir que el agua acumulada en el desarenador pueda salir durante los procesos de limpieza y mantenimiento.

La tubería se encuentra ubicada en la parte inferior del desarenador, lo que permite drenar el agua acumulada en esta zona, la superficie de la tubería muestra signos de oxidación y desgaste, debido al constante contacto con el agua y la humedad en este entorno.

El tamaño y posición de la tubería sugieren que tiene la capacidad suficiente para evacuar eficazmente el agua del desarenador cuando sea necesario, esta tubería de desfogue es un componente clave para facilitar las actividades de limpieza y mantenimiento periódicos del desarenador, asegurando su correcto funcionamiento.



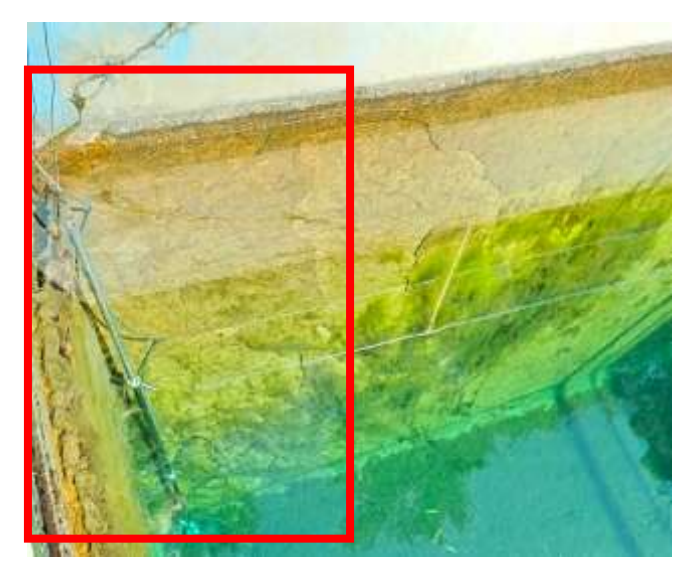
Lectura de velocidades.

En la imagen se aprecia una estructura de soporte o andamio que atraviesa transversalmente el canal del desarenador, permitiendo el acceso y desplazamiento del personal.

Sobre esta estructura de soporte, se ve un instrumento de medición, con un molinete electromagnético OTT MF pro, que está siendo utilizado para realizar las mediciones correspondientes, que después son registrados los datos obtenidos con este dispositivo de medición.

Esto forma parte de los procedimientos de aforo y caracterización hidráulica del flujo en el desarenador, lo cual es crucial para evaluar su eficiencia en la remoción de sólidos.





La profundidad es muy alta, el OTT sobrepasa la profundidad máxima que puede medir el molinete electromagnético OTT MF pro, como se observa en la imagen.





Esta imagen muestra el canal principal de entrada al sistema de tratamiento de agua, el cual ha sido seleccionado para realizar la medición de velocidad y el aforo de caudal.

El canal tiene una configuración que permite un flujo laminar, lo cual es deseable para obtener mediciones precisas de velocidad y caudal, además de realizar las mediciones se procedió a registrar los datos correspondientes en este punto del sistema.

Según lo indicado, el caudal de ingreso a través de este canal principal se estima en aproximadamente 93 litros por segundo.

La selección de este canal de entrada con flujo laminar es una práctica técnica común, ya que facilita la obtención de datos hidráulicos confiables que serán fundamentales para el análisis y evaluación del desempeño del sistema de tratamiento de agua.



Canal de entrada con transición

Después del canal de entrada principal, se encuentra este canal de entrada al desarenador, que actúa como una transición entre ambos componentes, la transición en la parte izquierda del canal tiene una longitud de aproximadamente 80 centímetros, el ancho de este canal de entrada al desarenador es de 85 centímetros.

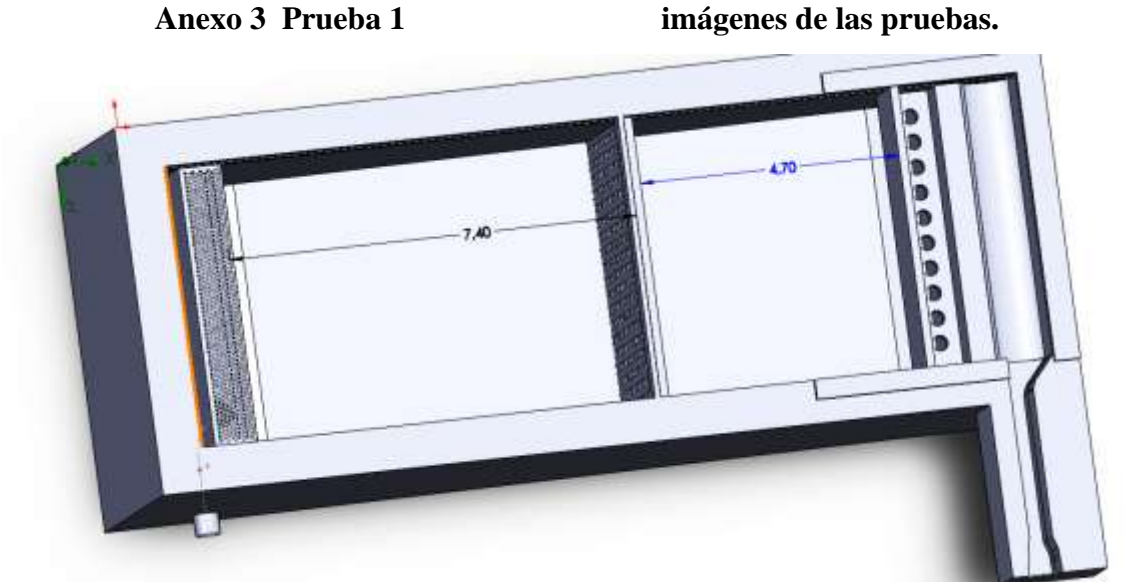
Estas dimensiones y configuración de la transición son relevantes, ya que pueden tener un impacto en la hidráulica y eficiencia del flujo que ingresa al proceso de desarenado, la medición y registro de estos detalles geométricos del canal de entrada al desarenador forman parte del levantamiento de información técnica necesaria para el análisis y evaluación del sistema de tratamiento de agua en su conjunto.

Pruebas de modelado en Solidworks.

Se realizaron cinco pruebas de modelado estas se realizaron utilizando la técnica de Dinámica de Fluidos Computacional (CFD) como herramienta de evaluación y diseño. El objetivo era determinar la configuración óptima del desarenador que permitiera mejorar la distribución de velocidades y evitar la formación indeseada de vórtices, lo cual afectaba el funcionamiento general del proceso de clarificación del agua.

El uso de estas simulaciones numéricas es una práctica común en el diseño y optimización de este tipo de sistemas de tratamiento, ya que permite analizar diferentes alternativas de manera

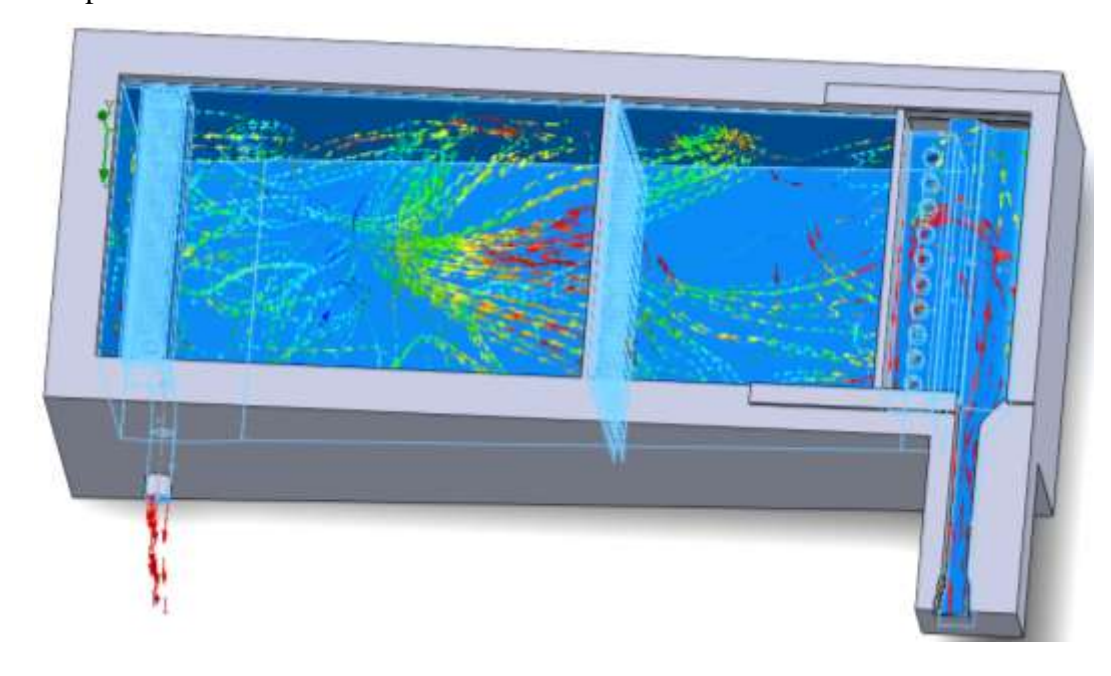
eficiente antes de implementar cambios en la infraestructura real a continuación se adjuntan las

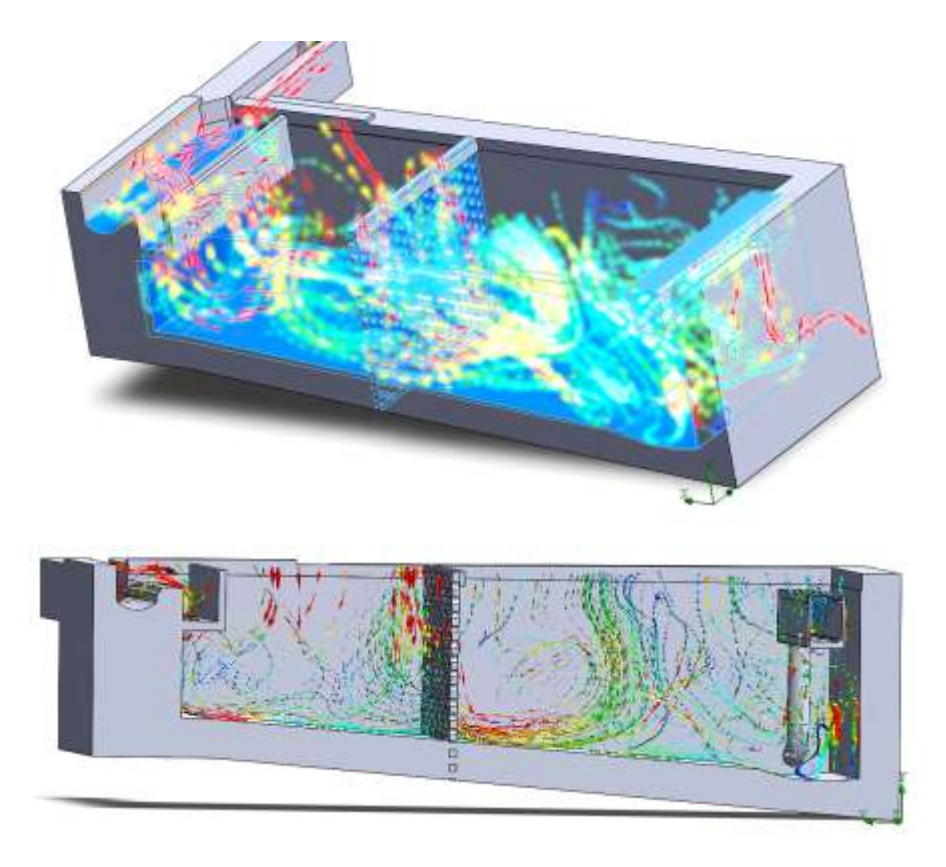


El modelo muestra una representación gráfica detallada del flujo y las velocidades dentro del desarenador.

Se aprecia el aumento de un muro de hormigón armado con aberturas (barbacanas) en el diseño, con el objetivo de reducir y distribuir adecuadamente las velocidades del flujo.

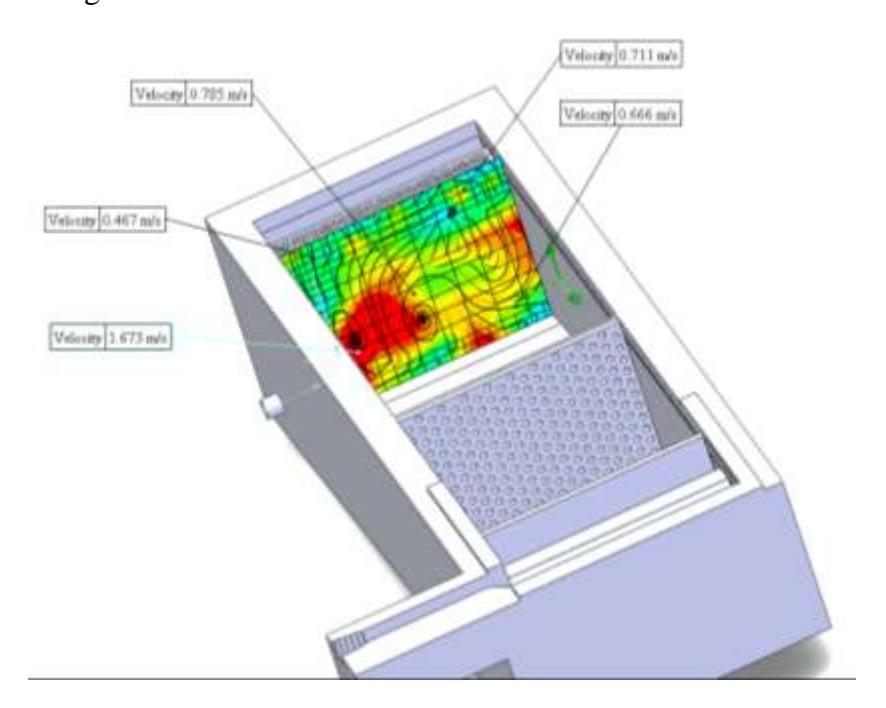
En la simulación se evidencia la formación de vórtices cerca de la tubería de salida, lo cual parece ser un problema a resolver.





La imagen que se observa a continuación muestra los valores de velocidad en diferentes secciones del desarenador, los cuales varían desde 0,467 m/s hasta 1,673 m/s.

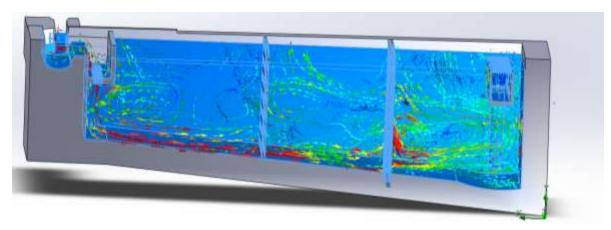
Estos datos de velocidad se indican con una escala de colores que permite visualizar la distribución a lo largo del desarenador.



Se observa una zona de velocidades más elevadas (en tono rojo) cerca de la tubería de salida, lo que indica la formación de vórtices en esa región.

Esta concentración de altas velocidades cerca de la salida puede afectar la eficiencia del proceso de sedimentación y remoción de sólidos.

Esta modelación computacional utilizando dinámica de fluidos computacional (CFD) permite analizar el comportamiento hidráulico del sistema y proponer mejoras en el diseño.



Anexo 4 Prueba 2

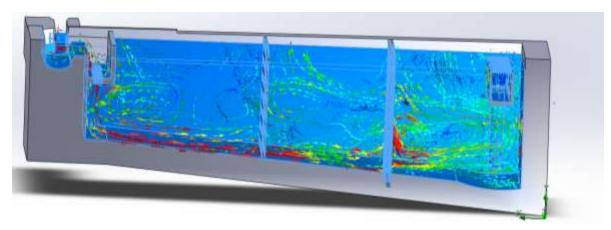
Los diferentes colores y patrones observados representan las diferentes variables y comportamientos del flujo, como velocidades, presiones, turbulencias, etc. tanto para el flujo de aire como de agua a través de esta estructura.

Este tipo de modelado (CFD) multifásico, que incluye tanto el flujo de aire como de agua, es muy útil para analizar y optimizar diseños en diversas aplicaciones, como sistemas de ventilación, plantas de tratamiento de agua, procesos industriales, entre otros.

Se observa una zona de velocidades más elevadas (en tono rojo) cerca de la tubería de salida, lo que indica la formación de vórtices en esa región.

Esta concentración de altas velocidades cerca de la salida puede afectar la eficiencia del proceso de sedimentación y remoción de sólidos.

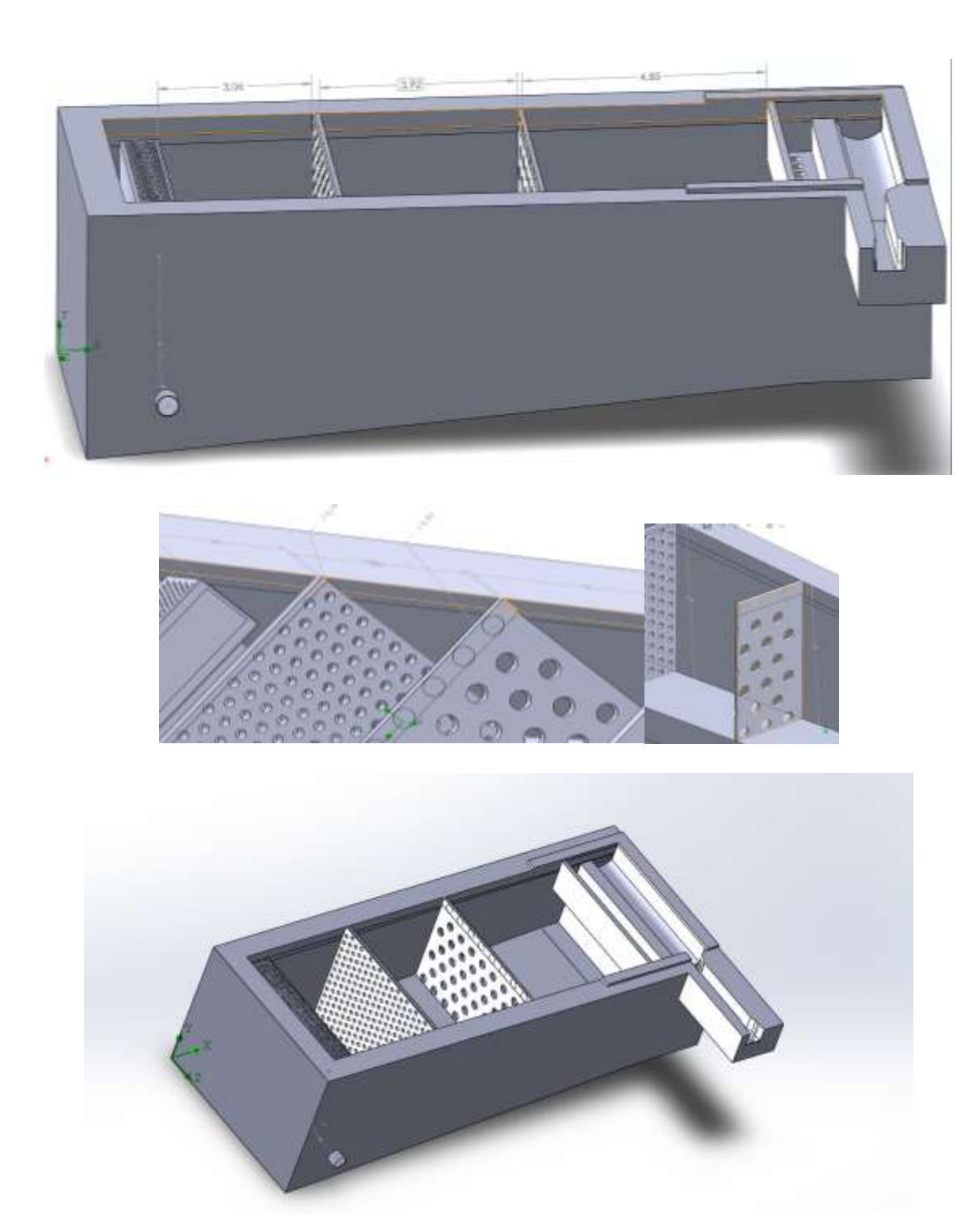
Esta modelación computacional utilizando dinámica de fluidos computacional (CFD) permite analizar el comportamiento hidráulico del sistema y proponer mejoras en el diseño.



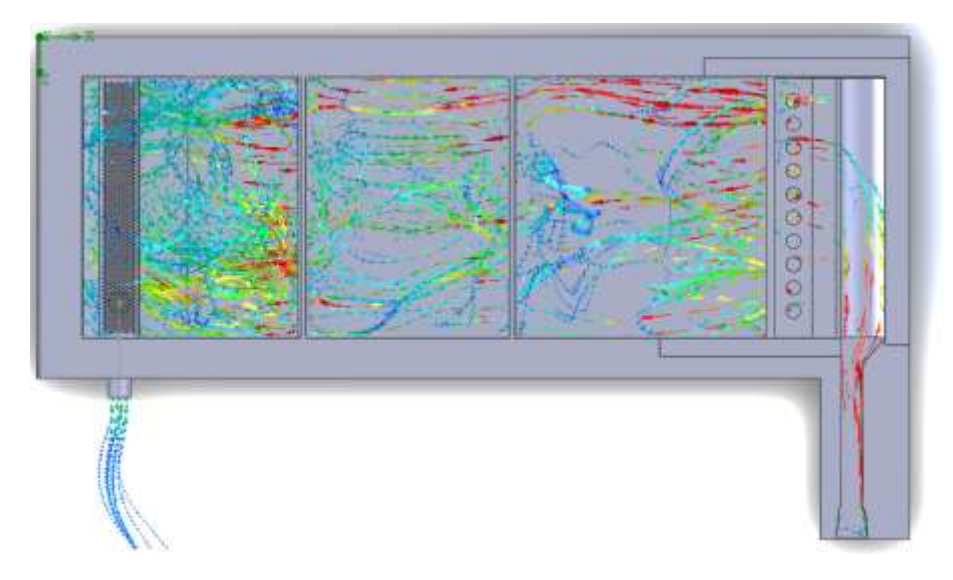
Anexo 4 Prueba 2

Los diferentes colores y patrones observados representan las diferentes variables y comportamientos del flujo, como velocidades, presiones, turbulencias, etc. tanto para el flujo de aire como de agua a través de esta estructura.

Este tipo de modelado (CFD) multifásico, que incluye tanto el flujo de aire como de agua, es muy útil para analizar y optimizar diseños en diversas aplicaciones, como sistemas de ventilación, plantas de tratamiento de agua, procesos industriales, entre otros.



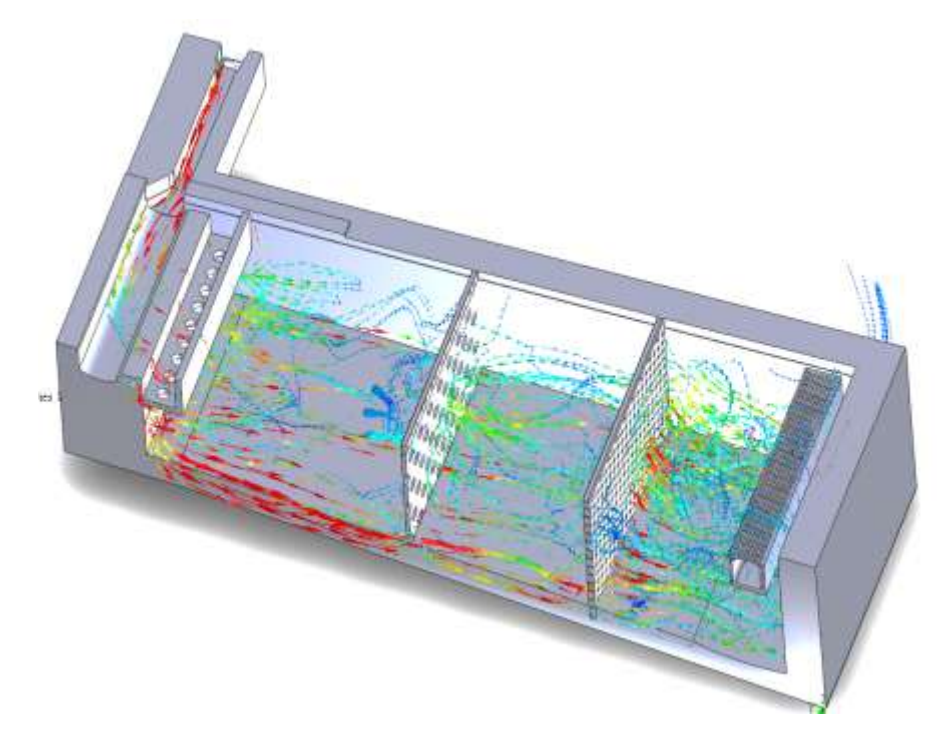
La estructura general se ha vuelto más elaborada, con secciones y compartimentos separados, en comparación con el diseño más simple del modelo anterior.



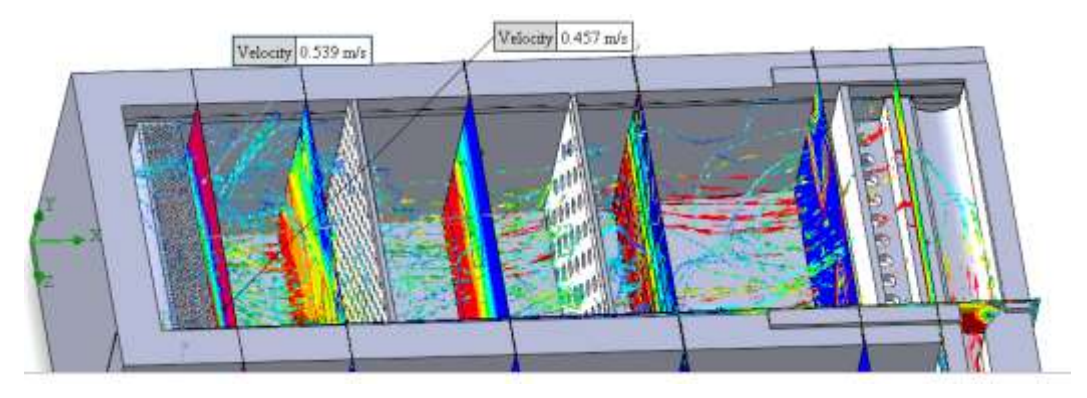
El desarenador está dividido en diferentes compartimentos o secciones, lo que permite analizar el comportamiento del flujo en cada una de ellas.

Los diferentes colores y trayectorias representan los distintos patrones de flujo dentro del sistema. Esto revela cómo se distribuye y se mueve el agua a través de las diferentes partes del desarenador, se pueden identificar áreas con velocidades más altas (colores cálidos) y otras con velocidades más bajas (colores fríos). Esto es importante para comprender dónde se producen los procesos de sedimentación y separación de partículas.

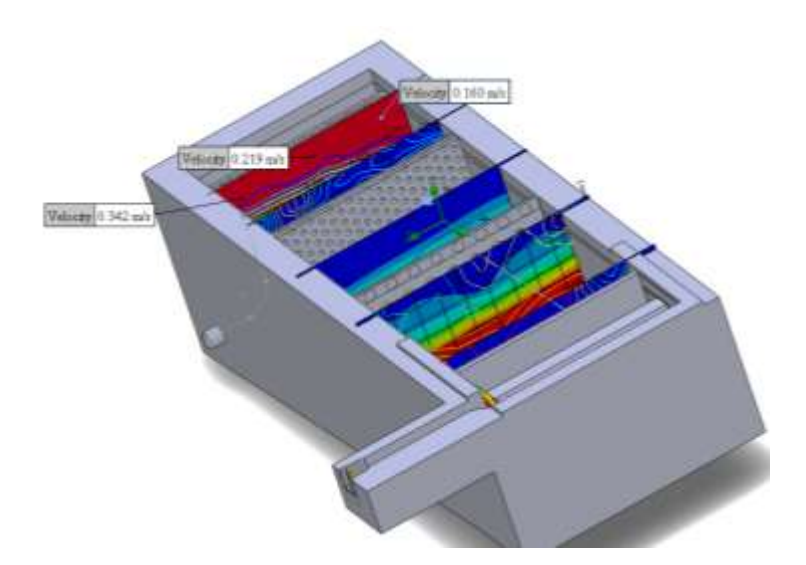
Algunas zonas muestran patrones más caóticos y turbulentos, lo cual puede indicar áreas donde se generan remolinos o flujos secundarios que afectan la eficiencia del proceso de desarenado.



La imagen presenta una codificación de colores que representa los diferentes valores de velocidad del flujo. Los tonos cálidos (rojos y naranjas) indican áreas de mayor velocidad, mientras que los tonos fríos (azules y verdes) muestran zonas de menor velocidad.



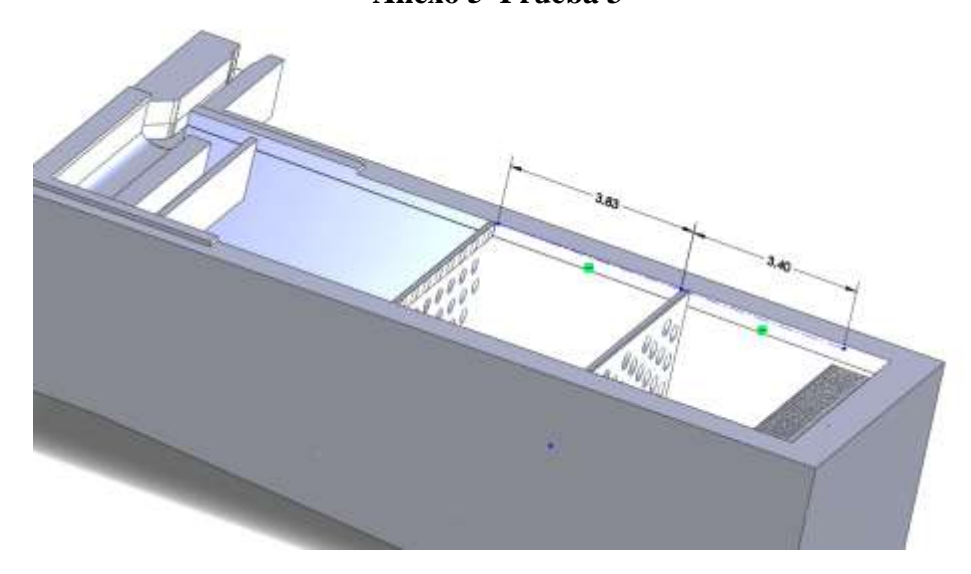
Se pueden observar cambios significativos en la magnitud de las velocidades a lo largo de las diferentes secciones del desarenador. Esto sugiere que el diseño y la geometría interna del sistema provocan aceleraciones, desaceleraciones y redistribuciones del flujo.



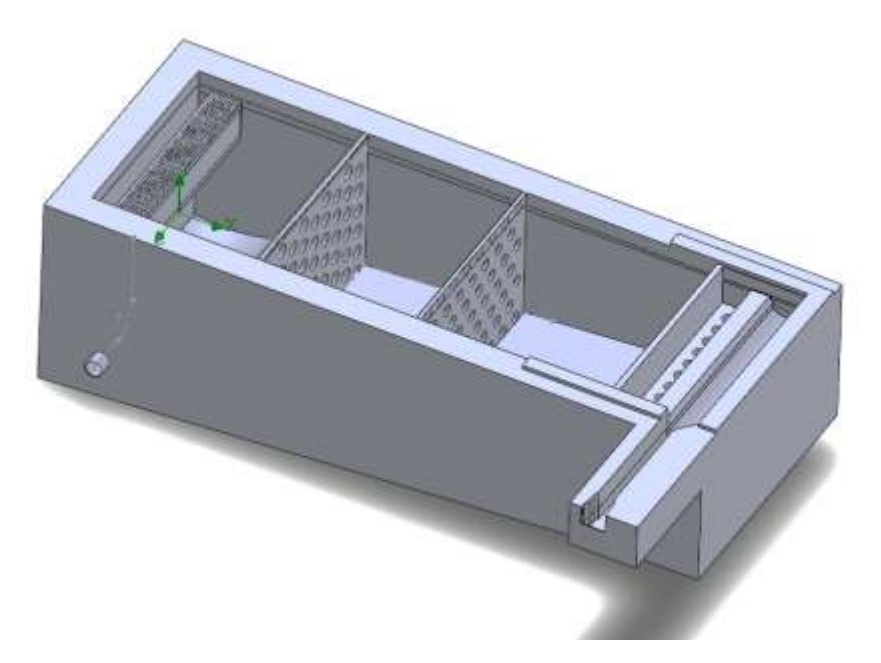
Los valores numéricos proporcionados, como 0,160 m/s, 0,219 m/s y 0,342 m/s, revelan los rangos de velocidad presentes, existen claras diferencias en las velocidades a lo largo de las diferentes secciones del desarenador. Esto sugiere que el diseño y la geometría interna provocan cambios en la aceleración y redistribución del flujo.

Algunas zonas, como la parte inferior y la zona media, muestran patrones de velocidades más altas, lo cual puede ser relevante para el análisis de la sedimentación y la eficiencia del proceso de remoción de sólidos, la representación tridimensional y la codificación de colores permiten visualizar de manera más completa y precisa la dinámica del flujo dentro del desarenador, facilitando la comprensión y el análisis.

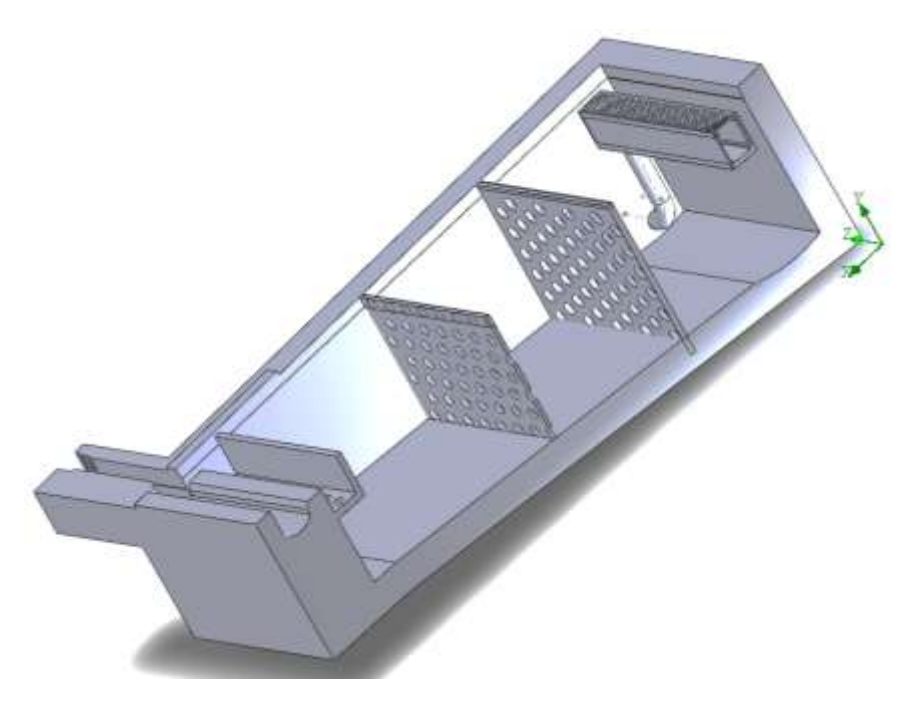
Anexo 5 Prueba 3



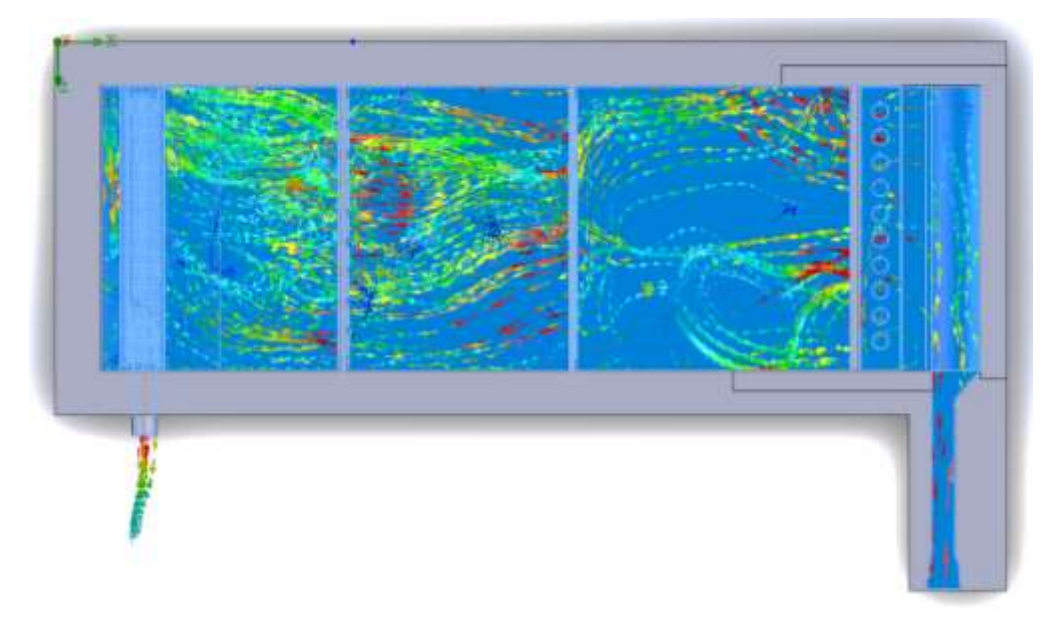
Los diferentes compartimentos, placas y pantallas perforadas se han reubicado y reorganizado dentro de la nueva geometría del desarenador.

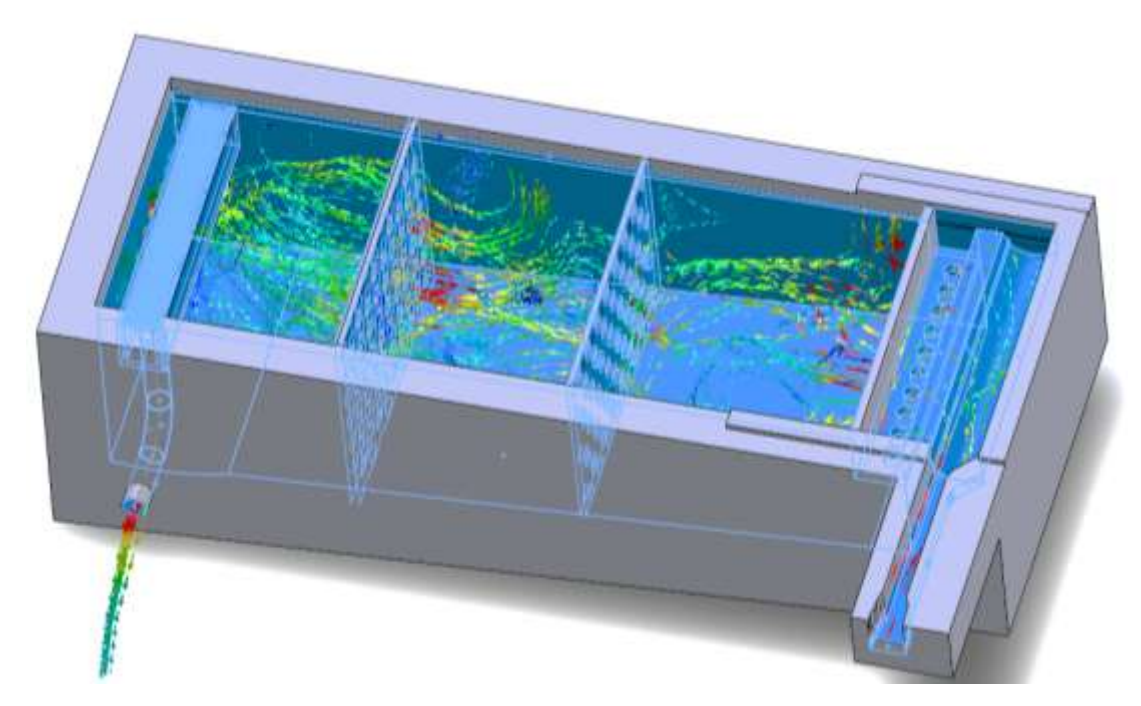


Esta nueva iteración del modelo del desarenador refleja modificaciones en el diseño que buscan optimizar el rendimiento y la funcionalidad del sistema, basándose en los hallazgos y recomendaciones del análisis CFD previo.



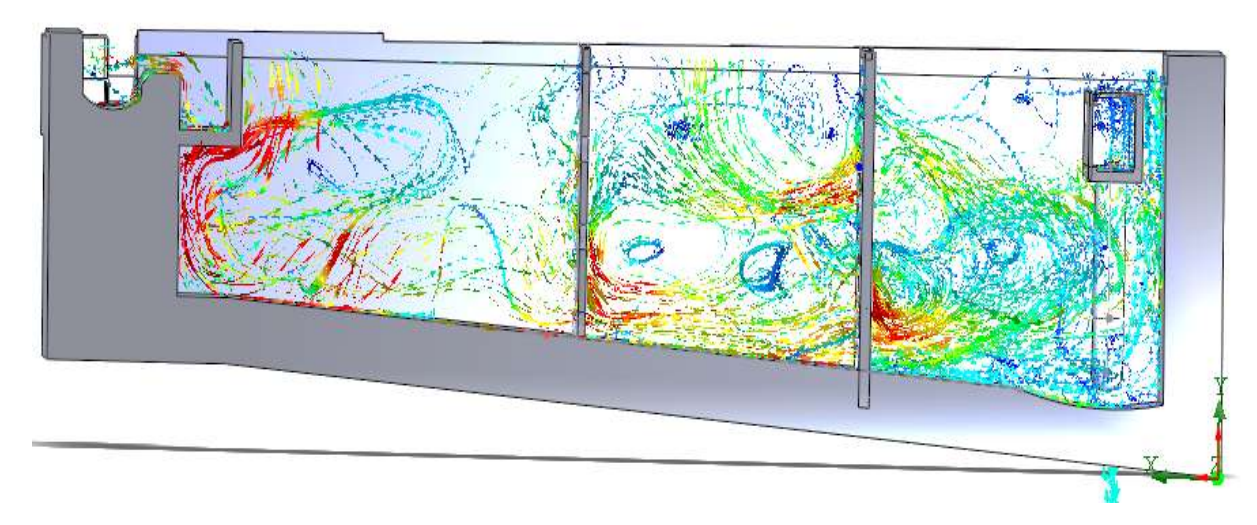
Se observan complejos patrones de movimiento del flujo en la siguiente imagen, con múltiples trayectorias y turbulencias representadas por los diferentes colores y líneas. Esto indica la dinámica y las variaciones del comportamiento del agua a lo largo del sistema.





Se observa una configuración de trayectorias y patrones de flujo extremadamente intrincada y turbulenta. Los colores y formas indican la complejidad de los movimientos del agua a través del sistema.

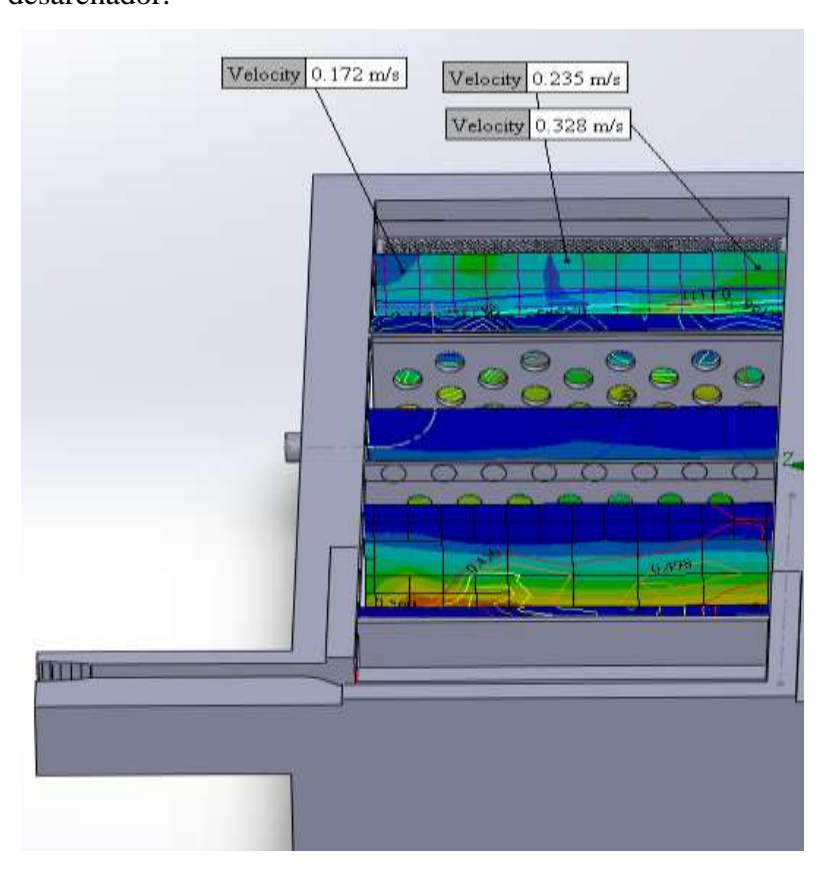
Existen amplias diferencias en las velocidades del flujo, con zonas de mayor velocidad (tonos cálidos) y otras de menor velocidad (tonos fríos). Estas variaciones son clave para comprender el comportamiento del proceso de sedimentación.



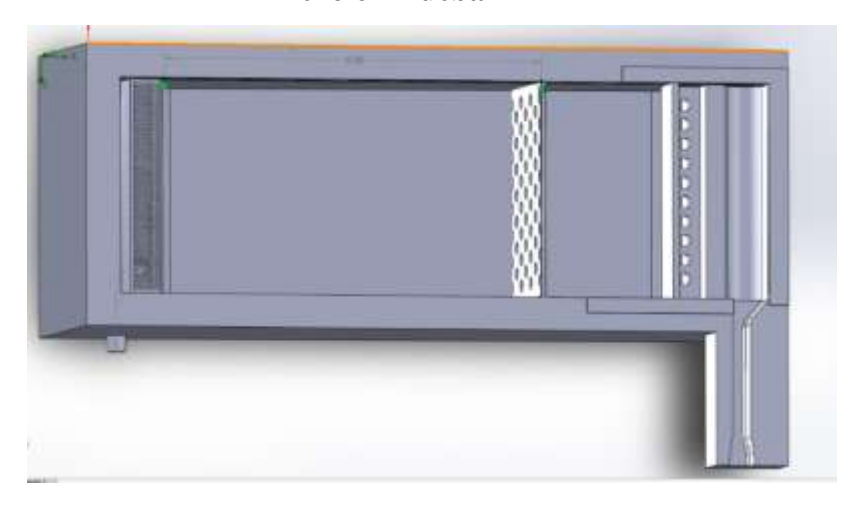
La siguiente imagen muestra una simulación o modelo de dinámica de fluidos computacional (CFD) de un desarenador o dispositivo de remoción de sedimentos. El desarenador se representa mediante la estructura gris, y la imagen muestra varias velocidades y patrones de flujo de fluidos

dentro del dispositivo.

La imagen muestra valores de velocidad de 0,172 m/s, 0,235 m/s y 0,328 m/s en diferentes ubicaciones del desarenador.



Anexo 6 Prueba 4



Las modificaciones en la geometría y los elementos internos del dispositivo están orientadas a mejorar la eficiencia de separación y remoción de sedimentos.

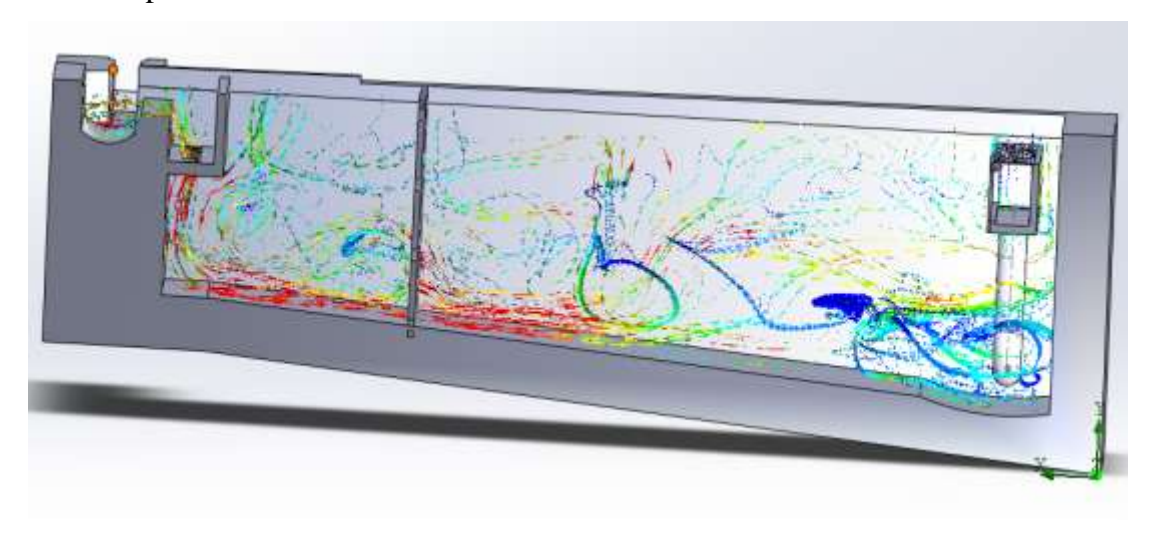
Algunas de las características que noté que podrían contribuir a este objetivo son:

La sección más larga y angosta, que puede permitir un flujo más controlado y una mejor distribución del fluido dentro del desarenador.

Los elementos perforados o con orificios, que probablemente ayuden a una dispersión más uniforme del flujo, evitando zonas de estancamiento.

Los posibles compartimentos o divisiones internas, que podrían facilitar la sedimentación y retención de los sólidos en suspensión.

Estas modificaciones en el diseño, es basado en los resultados de las simulaciones computacionales previas.



Este modelo de simulación muestra un comportamiento más complejo y detallado del flujo

dentro del desarenador. En comparación con las versiones anteriores, se observa una dinámica de flujo mucho más intrincada, con múltiples patrones de circulación y remolinos.

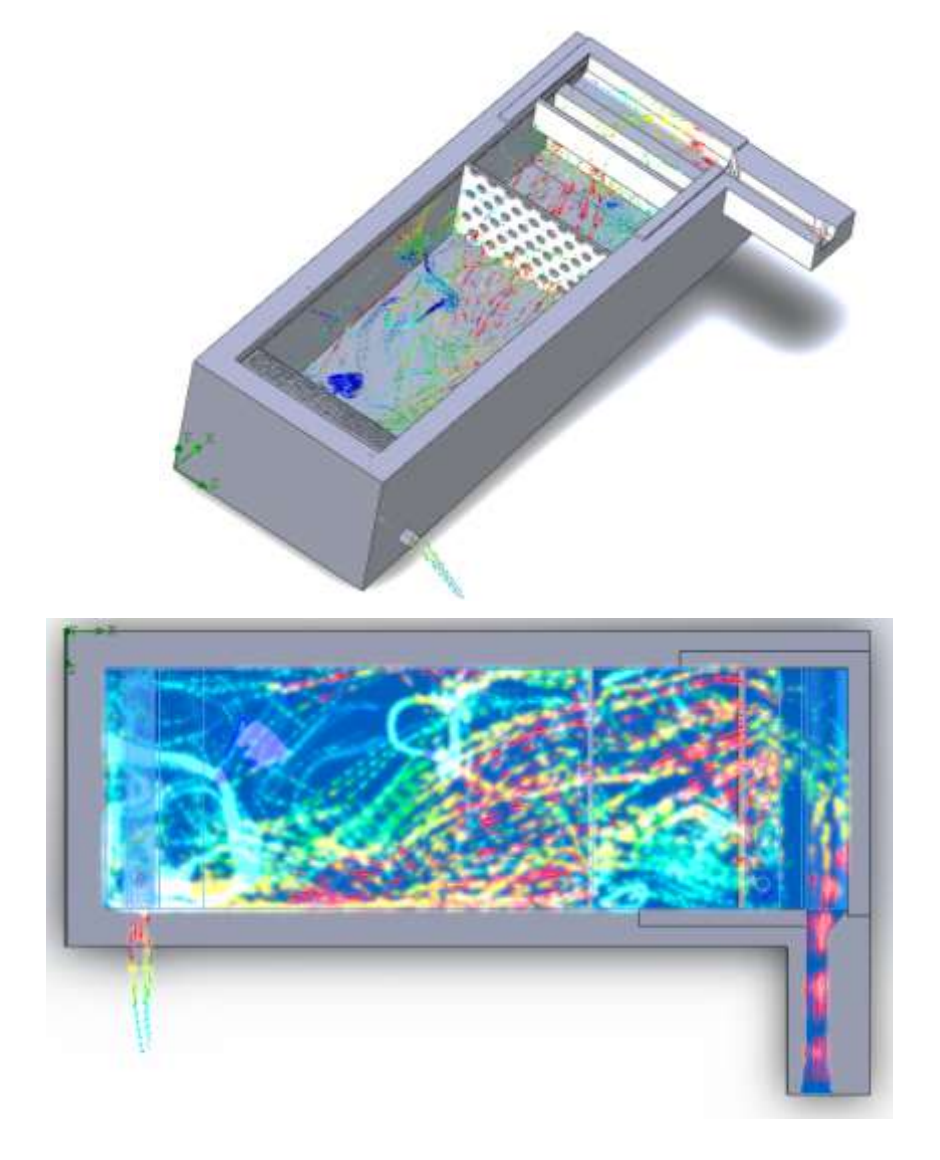
Algunas características destacadas:

Flujos altamente turbulentos y caóticos en ciertas secciones, lo que indica una redistribución y dispersión intensa de las partículas en suspensión.

Presencia de flujos ascendentes y descendentes, que podrían facilitar la separación y sedimentación de los sólidos.

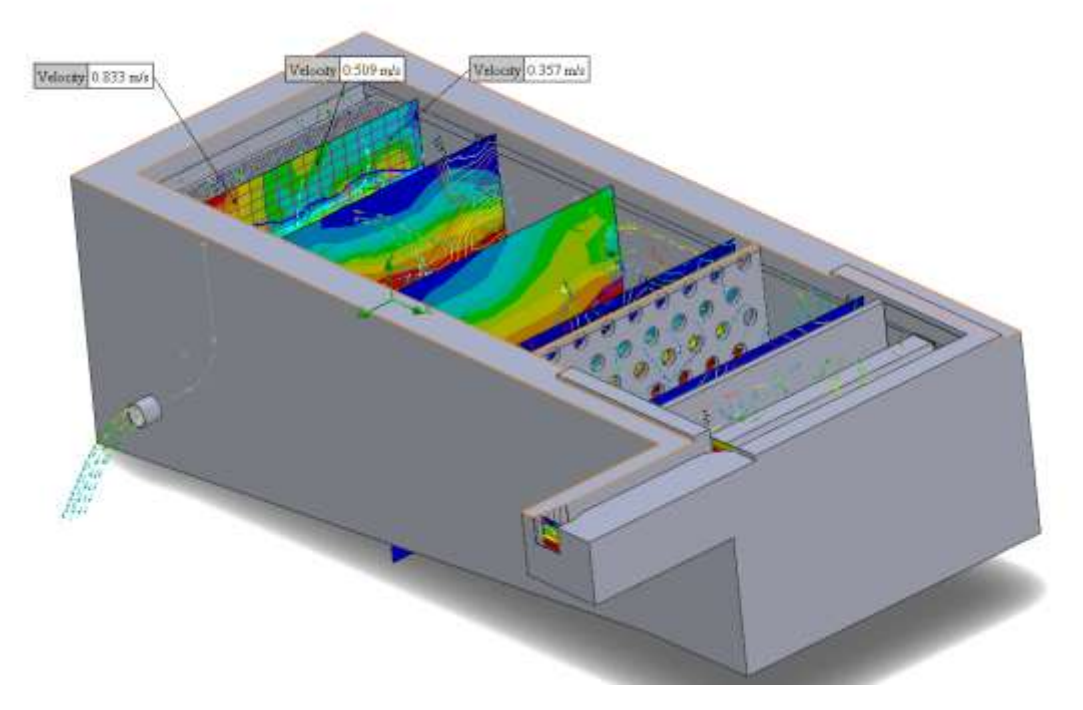
Zonas con patrones de flujo más ordenados y direccionales, lo que sugiere una mayor eficiencia en el transporte y extracción de los sedimentos.

Variaciones de color que representan diferentes velocidades y direcciones del flujo, brindando una visión completa de la dinámica dentro del desarenador.



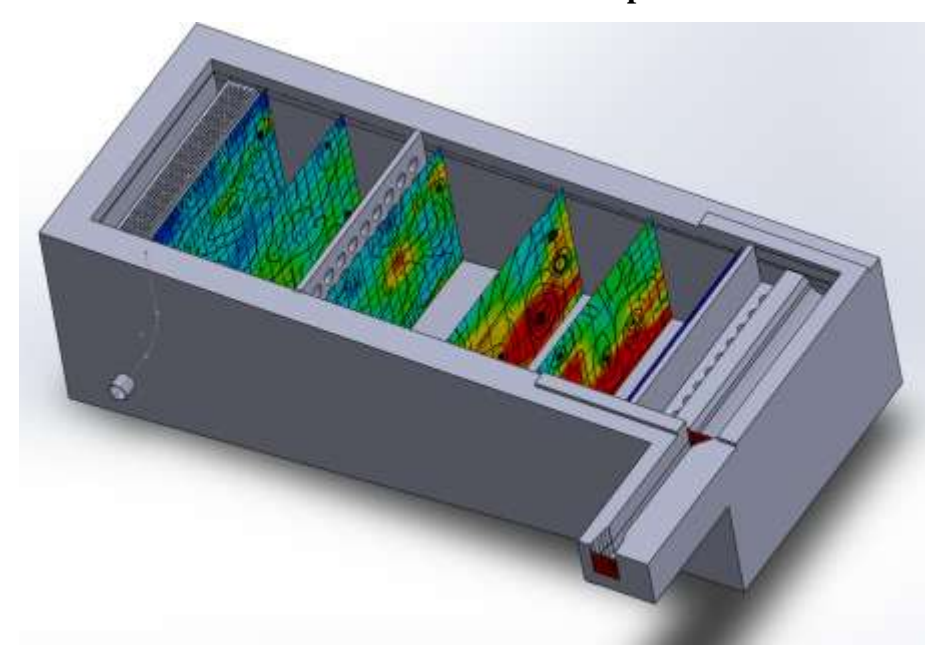
Estas velocidades se indican mediante los valores numéricos presentados en la simulación, permite comprender la distribución de flujos y el comportamiento hidrodinámico dentro del desarenador.

La variación de velocidades en diferentes puntos es un aspecto clave para optimizar la separación y extracción de sólidos. Las áreas con mayor velocidad pueden facilitar la suspensión y transporte de las partículas, mientras que las zonas de menor velocidad propician la sedimentación y acumulación de los sedimentos.



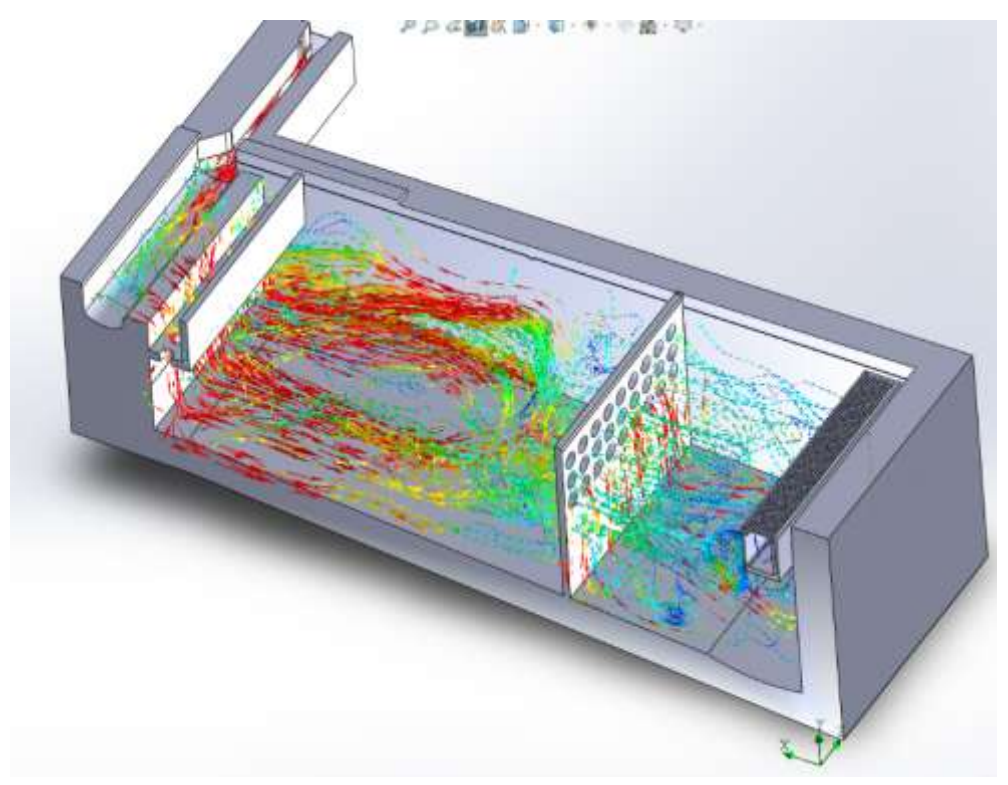
Al analizar esta información de velocidades junto con los patrones de flujo visualizados en la simulación previa, se ajusta aún más el diseño del desarenador para lograr un rendimiento óptimo en la remoción de sólidos. Este nivel de detalle en el modelado computacional es esencial para el desarrollo y mejora continua de estos dispositivos de tratamiento.

Anexo 7 Prueba 5 - la más óptima



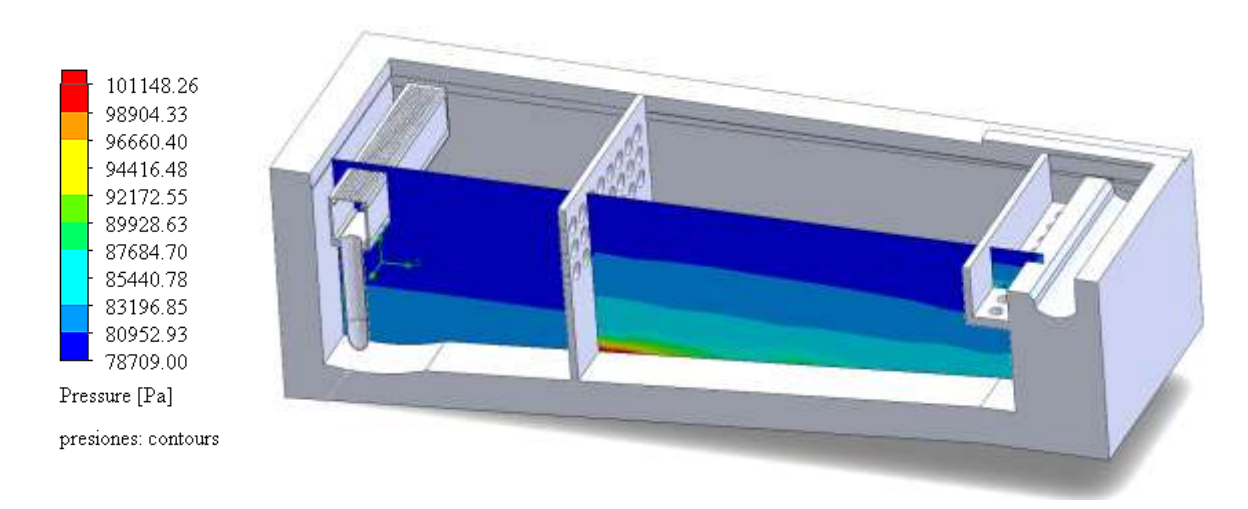
Habiendo analizado las pruebas anteriores se decidió como mejor opción ubicar a 2 metros de la base los orificios porque:

Permite aprovechar las zonas de menor velocidad cerca del fondo, donde los sólidos tienden a asentarse, evita arrastrar los sedimentos depositados hacia las salidas demasiado pronto, mejorando la remoción.

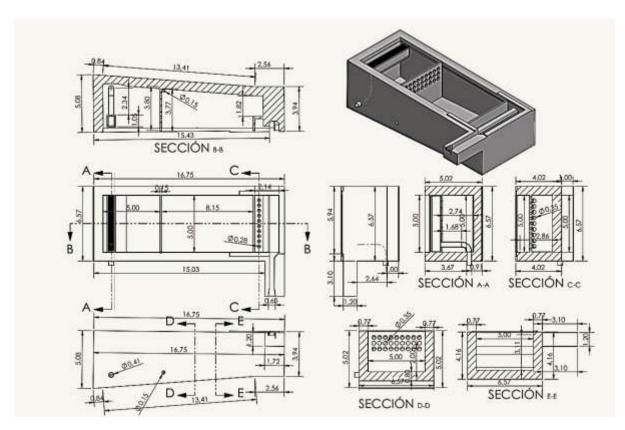


Facilita la recolección y extracción de los sólidos acumulados en la parte inferior del desarenador.

Al tomar esta decisión fundamentada en el análisis de las simulaciones anteriores, demuestras un enfoque riguroso y orientado a optimizar el diseño del desarenador. Esta modificación específica en la posición de las aberturas será un aporte a la mejora continua del sistema. Las imágenes se encuentran en el capítulo V.

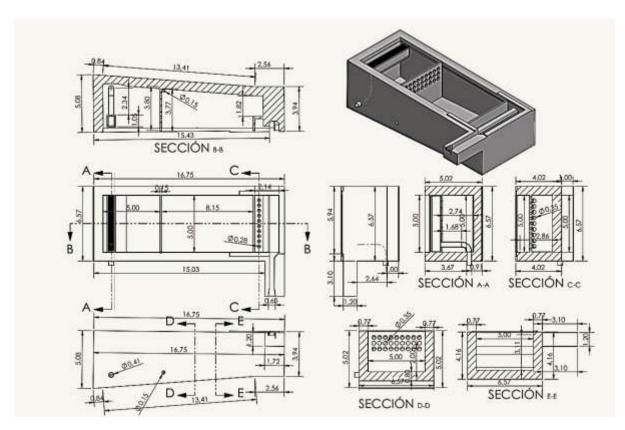


Se implementó una tubería de desagüe estratégicamente ubicada para facilitar las operaciones de mantenimiento y limpieza del desarenador. La ubicación específica de esta tubería se determinó mediante un análisis de la distribución de presiones hidráulicas en el sistema. Se seleccionó el punto donde se registra un incremento de presión, ya que esta característica favorecerá el proceso de vaciado durante las actividades de limpieza, optimizando así la evacuación de sedimentos y garantizando un mantenimiento más eficiente de la estructura.



Este diseño técnico se ha elaborado incluyendo múltiples secciones (B-B, A-A, C-C, D-D y E-E) para proporcionar una visualización completa y precisa de todos los componentes de la estructura. El plano incluye una vista isométrica que facilita la comprensión tridimensional del conjunto, complementada con vistas en sección que muestran los detalles internos críticos como la zona de entrada con su pantalla perforada, la cámara de sedimentación y las pendientes de fondo diseñadas para facilitar la limpieza.

Anexo 8 Planos de desarenador nuevo diseño



Este diseño técnico se ha elaborado incluyendo múltiples secciones (B-B, A-A, C-C, D-D y E-E) para proporcionar una visualización completa y precisa de todos los componentes de la estructura. El plano incluye una vista isométrica que facilita la comprensión tridimensional del conjunto, complementada con vistas en sección que muestran los detalles internos críticos como la zona de entrada con su pantalla perforada, la cámara de sedimentación y las pendientes de fondo diseñadas para facilitar la limpieza.

Anexo 8 Planos de desarenador nuevo diseño

					ADOS EN CAMI		
		CADES LEC	TURADAS I		NADOR "Q	= 93 L/S"	
Tirante "y"	3,05		_		IÓN 1	-	
Distancia di horiz		0 m	2 1m	2 m	4 3 m	5 4 m	6 5 m
HOHZ	Olitai				Dist. Horizor		
Profundi	dad (m)	1	2	3	4	5	6
0.2 v	0.61	-0,08	0,005	0,004	0,006	0,009	-0,007
0,6 y	1,83	-0,01	0,012	0,003	0.007	0,006	-0,002
0,8 y	2,44	-0,024	0,008	0.003	0.003	0,007	-0.09
Tirante "y"	2,73	- /-		SECC	ZIÓN 2	.,,,,,,,,,,,,,,,,,,,,,,,,,,,,,,,,,,,,,,	
Distancia d		1	2	3	4	5	6
horiz	ontal	0 m	1m	2 m	3 m	4 m	5 m
Profundi	dad (m)	vel	ocidad lectura	ada en (m/s),	Dist. Horizon	tal / profundi	dad
1 Torunu	` ′	1	2	3	4	5	6
0,2 y	0,546	0,001	0,003	0,005	0,003	0,005	-0,008
0,6 y	1,638	-0,016	0,004	0,005	0,004	0,004	-0,054
0,8 y	2,184	-0,011	0,002	0,003	0,003	0,005	-0,157
Tirante "y"	3,05				IÓN 3	_	
Distancia d		1	2	3	4	5	6
horiz	ontai	0 m	1m	2 m	3 m	4 m	5 m
Profundi	dad (m)	1 vei	2	ada en (m/s),	Dist. Horizon	tai / protundi 5	dad 6
0,2 y	0,61	0,009	-0,004	-0,018	0,012	0,01	-0,008
0,2 y 0,6 y	1,83	-0,017	-0,004	0,027	-0,001	0,011	-0,008
0,8 y	2.44	-0,017	-0,000	0.011		-0,016	-0,019
Tirante "y"	2,68	-0,010	-0,011		1ÓN 4	-0,010	-0,018
Distancia d		1	2	3	4	5	6
horiz		0 m	1m	2 m	3 m	4 m	5 m
					Dist. Horizon		
Profundi	dad (m)	1	2	3	4	5	6
0,2 y	0,536	-0,02	-0,014	-0,009	-0,028	-0,017	-0,02
0,6 y	1,608	-0,032	0,009	-0,022	-0,007	-0,006	0,014
0,8 y	2,144	0,032	0,014	0,033	0,055	0,068	0,014
Tirante "y"	2,625			SECC	IÓN 5		
Distancia de		1	2	3	4	5	6
horiz	ontal	0 m	1m	2 m	3 m	4 m	5 m
Profundi	dad (m)				Dist. Horizon		
0.0	0.505	1	2	3	4	5	6
0,2 y	0,525 1,575	-0,023 -0,025	-0,006 -0,003	-0,013 -0,026	-0,017 -0,019	-0,028	0,008
0,6 y 0,8 y	2.1	-0,025	0,009	0.011	0.02	-0,02 0,089	0,018
Tirante "y"	2,1	-0,011	0,009		0,02 ZIÓN 6	0,089	0,04
Distancia d		1	2	3	4	5	6
horiz		0 m	1m	2 m	3 m	4 m	5 m
					Dist. Horizon		
Profundi	dad (m)	1	2	3	4	5	6
0,2 y	0,512	-0,004	-0,008	-0,008	-0,014	-0,015	-0,011
0,6 y	1,536	-0,015	-0,006	-0,021	-0,013	-0,021	0,011
0,8 y	2,048	0,01	-0,014	-0,017	-0,03	-0,02	0,014
Tirante "y"	0,27	SECCIÓ	N DE ENTR	ADA CON T	TRANSICIÓN	l "85cm"	
				2		E	
Distancia de		1	2	3	4	3	
Distancia de horiz	e pared (m)	0,14 m	0,28 m	0,42 m	0,56 m	0,71 m	
horiz	e pared (m) ontal	0,14 m velocidad	0,28 m lecturada en	0,42 m (m/s), Dist. I	0,56 m Horizontal / pr	ofundidad	
horiz Profundi	e pared (m) ontal dad (m)	0,14 m velocidad	0,28 m lecturada en	0,42 m (m/s), Dist. H	0,56 m Horizontal / pr 4	ofundidad 5	
Profundi 0,6 y	e pared (m) ontal dad (m) 0,162	0,14 m velocidad	0,28 m lecturada en 2 0,672	0,42 m (m/s), Dist. I 3 0,496	0,56 m Horizontal / pr 4 0,426	ofundidad	
horiz Profundi 0,6 y Tirante "y"	e pared (m) ontal dad (m) 0,162 0,33	0,14 m velocidad 1 1,107	0,28 m lecturada en 2 0,672	0,42 m (m/s), Dist. F 3 0,496 DE ENTRAD	0,56 m Horizontal / pr 4 0,426 OA "60cm"	ofundidad 5	
Profundi 0,6 y Tirante "y" Distancia de	e pared (m) ontal dad (m) 0,162 0,33 e pared (m)	0,14 m velocidad 1 1,107	0,28 m lecturada en 2 0,672 CANAL l	0,42 m (m/s), Dist. F 3 0,496 DE ENTRAD	0,56 m Horizontal / pr 4 0,426 DA "60cm"	ofundidad 5 0,115	
Profundi 0,6 y Tirante "y"	e pared (m) ontal dad (m) 0,162 0,33 e pared (m)	0,14 m velocidad 1 1,107	0,28 m lecturada en 2 0,672 CANAL 1 2 0,20 m	0,42 m (m/s), Dist. F 3 0,496 DE ENTRAD 3 0,30 m	0,56 m Horizontal / pi 4 0,426 OA "60cm" 4 0,40 m	ofundidad 5 0,115 5 0,50 m	
Profundi 0,6 y Tirante "y" Distancia de	e pared (m) ontal dad (m) 0,162 0,33 e pared (m) ontal	0,14 m velocidad 1 1,107	0,28 m lecturada en 2 0,672 CANAL l 2 0,20 m lecturada en	0,42 m (m/s), Dist. F 3 0,496 DE ENTRAD 3 0,30 m (m/s), Dist. F	0,56 m Horizontal / pi 4 0,426 DA "60cm" 4 0,40 m Horizontal / pi	ofundidad 5 0,115 5 0,50 m ofundidad	
Profundi 0,6 y Tirante "y" Distancia de horiz	e pared (m) ontal dad (m) 0,162 0,33 e pared (m) ontal	0,14 m velocidad 1 1,107	0,28 m lecturada en 2 0,672 CANAL 1 2 0,20 m	0,42 m (m/s), Dist. F 3 0,496 DE ENTRAD 3 0,30 m	0,56 m Horizontal / pi 4 0,426 OA "60cm" 4 0,40 m	ofundidad 5 0,115 5 0,50 m	

Veloc	cidades lectu	radas in situ	con ayuda d	el molinete e	electromagné	tico OTT M	F pro.
		Tabla	: 2: Velocida	des en la sec	ción 1.		
Tirante "y"	3,05m			SECC	CIÓN 1		
	e pared (m)	1	2	3	4	5	6
horiz	ontal	0 m	1m	2 m	3 m	4 m	5 m
Profund	idad (m)	vel	ocidad lectura	ada en (m/s),	Dist. Horizon	ntal / profundi	dad
1 TOTUNG	idad (III)	1	2	3	4	5	6
0,2 y	0,61	0,08	0,005	0,004	0,006	0,009	0,007
0,6 y	1,83	0,01	0,012	0,003	0,007	0,006	0,002
0,8 y	2,44	0,024	0,008	0,003	0,003	0,007	0,09
Tirante "y"	2.73m	Tabla	: 3: Velocida		cción 2.		
	e pared (m)	1	2	3	4	5	6
horiz		0 m	1m	2 m	3 m	4 m	5 m
			ocidad lectura	ada en (m/s).	Dist. Horizon	ntal / profundi	
Profund	idad (m)	1	2	3	4	5	6
0,2 y	0.546	0.001	0.003	0.005	0.003	0,005	0.008
0,6 y	1,638	0.016	0.004	0.005	0,004	0,004	0.054
0,8 y	2,184	0,011	0,002	0,003	0,003	0,005	0,157
,		Tabla: 4: V	elocidades er	la sección 3	, , , , ,	•	
Tirante "y"	3,05m			SECO	CIÓN 3		
Distancia d	e pared (m)	1	2	3	4	5	6
horiz	ontal	0 m	1m	2 m	3 m	4 m	5 m

0,018	0,011	0,011
Tabla: 5: V	elocidades e	n sección 4.

0,004

0,006

0,018

0,027

0.012

0,001 0,001 0,016

0.01

0,011

0.008

0,019

0,018

0,009

0,017

Profundidad (m)

1,83

2,44

0,6 y

0,8 y

Tirante "y"	2,68m		SECCIÓN 4										
Distancia de pared (m)		1	2	3	4	5	6						
horizontal		0 m	1m	2 m	3 m	4 m	5 m						
Drofund	idad (m)	vel	velocidad lecturada en (m/s), Dist. Horizontal / profundidad										
FIOIUIG	idad (III)	1	2	3	4	5	6						
0,2 y	0,536	0,02	0,014	0,009	0,028	0,017	0,02						
0,6 y	1,608	0,032	0,009	0,022	0,007	0,006	0,014						
0,8 y	2,144	0,032	0,014	0,033	0,055	0,068	0,014						

Tabla: 6: Velocidades en sección 5.

Tirante "y"	2,625m	SECCIÓN 5									
Distancia de pared (m)		1	2	3	4	5	6				
horizontal		0 m	1m	2 m	2 m 3 m		5 m				
Profundi	idad (m)	velocidad lecturada en (m/s), Dist. Horizontal / profundidad									
Tioruna	idad (III)	1 2		3	4	5	6				
0,2 y	0,525	0,023	0,006	0,013	0,017	0,028	0,008				
0,6 y	1,575	0,025	0,003	0,026	0,019	0,02	0,018				
0,8 y	2,1	0,011	0,009	0,011	0,02	0,089	0,04				

Tabla 4.6: Velocidades en sección 6.

Tirante "y"	2,56m		SECCIÓN 6								
Distancia de pared (m)		1	2	3	4	5	6				
horiz	horizontal		1m	2 m	3 m	4 m	5 m				
Profundi	idad (m)	velocidad lecturada en (m/s), Dist. Horizontal / profundidad									
Fiorund	iuau (III)	1	2	3	4	5	6				
0,2 y	0,512	0,004	0,008	0,008	0,014	0,015	0,011				
0,6 y	1,536	0,015	0,006	0,021	0,013	0,021	0,011				
0,8 y	2,048	0,01	0,014	0,017	0,03	0,02	0,014				

Tabla: 7: Velocidades en sección del canal de entrada con una transición.

1401	Tubia. 71 7 Coctados en sección del canar de entrada con una transferón											
Tirante "y"	0,27m	SECCIÓ	SECCIÓN DE ENTRADA CON TRANSICIÓN "85cm"									
Distancia d	e pared (m)	1	2	3	4	5						
horiz	ontal	0,14 m	0,28 m	0,42 m	0,56 m	0,71 m						
Profund	idad (m)	velocidad lecturada en (m/s), Dist. Horizontal / profundidad										
Profundidad (m)		1	2	3	4	5						
0,6 y	0,162	1,107	0,672	0,496	0,426	0,115						

Tabla: 8:Velocidades en la sección del canal de entrada principal.

	Tirante "y"	0,34m	CANAL DE ENTRADA "60cm"					
	Distancia de pared (m) horizontal		1	2	3	4	5	
			0,10 m	0,20 m	0,30 m	0,40 m	0,50 m	
ı	Profundidad (m)		velocidad lecturada en (m/s), Dist. Horizontal / profundidad					
			1	2	3	4	5	
	0,6 y	0,18	0,673	0,742	0,652	0,492	0,419	

VELO	CIDADES LE	ECTURADAS	S EN DESAR	ENADOR C	ON EL MOL	INETE "Q =	93 L/S"		
Tirante "y"		CTURADAS EN DESARENADOR CON EL MOLINETE "Q = 9 SECCIÓN 1							
Distancia d		1	2	3	4	5	6		
horiz		0 m	1m	2 m	3 m	4 m	5 m		
Profundi	idad (m)	velocidad lecturada en (m/s), Dist. Horizontal / profundidad							
Profundi	dad (III)	1 2 3 4 5 6							
0,2 y	0,61	0,08	0,005	0,004	0,006	0,009	0,007		
0,6 y	1,83	0,01	0,012	0,003	0,007	0,006	0,002		
0,8 y	2,44	0,024	0,008	0,003	0,003	0,007	0,09		
Tirante "y"	2,73m		-	SECC	ZIÓN 2		-		
Distancia d		1	2	3	4	5	6		
horiz	ontal	0 m	1m	2 m	3 m	4 m	5 m		
Profundi	idad (m)					tal / profundi			
		1	2	3	4	5	6		
0,2 y	0,546	0,001	0,003	0,005	0,003	0,005	0,008		
0,6 y	1,638	0,016	0,004	0,005	0,004	0,004	0,054		
0,8 y	2,184	0,011	0,002	0,003	0,003	0,005	0,157		
Tirante "y"			_		CIÓN 3	-			
Distancia d		1	2	3	2	5	6		
horiz	omai	0 m	1m	2 m	3 m	4 m ntal / profundi	5 m		
Profundi	idad (m)		2	ada en (m/s),		tai / prorundi 5			
0.2 11	0.61	0,009	0,004	0,018	0,012	0,01	0,008		
0,2 y 0,6 y	0,61 1,83	0,009	0,004	0,018	0,012	0,01	0,008		
0,6 y	2,44	0,017	0,006	0,027	0,001	0,011	0,019		
Tirante "y"		0,016	0,011		CIÓN 4	0,010	0,016		
Distancia d		1	2	3	1	5	6		
horiz		0 m	1m	2 m	3 m	4 m	5 m		
		velocidad lecturada en (m/s), Dist. Horizontal / profundidad							
Profundi	idad (m)	1	2	3	4	5	6		
0,2 y	0,536	0,02	0,014	0,009	0,028	0,017	0.02		
0,6 y	1,608	0,032	0,009	0,022	0,007	0,006	0,014		
0,8 y	2,144	0,032	0,014	0,033	0.055	0,068	0,014		
Tirante "y"	2,625m		SECCIÓN 5						
Distancia d		1	2	3	4	5	6		
horiz	ontal	0 m	1m	2 m	3 m	4 m	5 m		
Profundi	ided (m)		ocidad lectura	ada en (m/s),		ntal / profundi			
Profundi	dad (III)	1	2	3	4	5	6		
0,2 y	0,525	0,023	0,006	0,013	0,017	0,028	0,008		
0,6 y	1,575	0,025	0,003	0,026	0,019	0,02	0,018		
0,8 y	2,1	0,011	0,009	0,011	0,02	0,089	0,04		
Tirante "y"					IÓN 6				
Distancia d		1	2	3	4	5	6		
horiz	ontal	0 m	1m	2 m	3 m	4 m	5 m		
Profundidad (m)			ocidad lectur			ital / profundi			
		1	2	3	4	5	6		
0,2 y	0,512	0,004	0,008	0,008	0,014	0,015	0,011		
0,6 y	1,536	0,015	0,006	0,021	0,013	0,021	0,011		
0,8 y	2,048	0,01	0,014	0,017	0,03	0,02	0,014		
Tirante "y"	0,27m				TRANSICIÓN	N "85cm"			
Distancia d		1	2	3	4	5			
horizontal		0,14 m	0,28 m	0,42 m	0,56 m	0,71 m			
Profundidad (m)					Horizontal / pr				
	1 1	1	2	3	4	5			
0,6 y	0,162	1,107	0,672	0,496	0,426	0,115			
Tirante "y"			CANAL	DE ENTRAD	A bucm"				
Distancia d		1	2	3	0.40	5			
horiz	omai	0,10 m	0,20 m	0,30 m	0,40 m	0,50 m			
Profundi	idad (m)				Horizontal / pi	orundidad			
0.6	0.100	0.672	2	3	4	5			
0,6 y	0,198	0,673	0,742	0,652	0,492	0,419			

Velocidades lecturadas en la simulación con un caudal 93 l/s.

	Velocidades lecturadas en la simulación con un caudal 93 l/s. VELOCIDADES DE SIMULACIÓN EN DESARENADOR "Q = 93 L/S"							
Tirante "y"	3,05m	ADES DE S	INIULACION		ZIÓN I	Z = 33 L/3		
	e pared (m)	1	2	3	4	5	6	
		0 m	2 1m	2 m	3 m	4 m	5 m	
horizontal					Dist. Horizon			
Profund	Profundidad (m)		2	3	4	5	6	
0,2 y	0.61	0,006	0.007	0,006	0,006	0.006	0,003	
0,2 y	1.83	0.004	0,004	0,004	0,003	0,004	0,003	
0,8 y	2,44	0,002	0,003	0,003	0,003	0,003	0,002	
Tirante "y"	2,73m	0,002	0,003		ZIÓN 2	0,003	0,001	
	e pared (m)	1	2	3	4	5	6	
	contal	0 m	1m	2 m	3 m	4 m	5 m	
					Dist. Horizon			
Profund	idad (m)	1	2	3	4	5	6	
0,2 y	0,546	0,004	0,005	0,006	0,006	0,005	0,002	
0,6 y	1,638	0.004	0,005	0.004	0,005	0.005	0.002	
0,8 y	2,184	0,004	0,004	0.004	0,005	0,005	0,002	
Tirante "y"	3,05m	0,00	0,000		ZIÓN 3	0,000	0,000	
	le pared (m)	1	2	3	4	5	6	
	ontal	0 m	1m	2 m	3 m	4 m	5 m	
					Dist. Horizon			
Profund	idad (m)	1	2	3	4	5	6	
0,2 y	0,61	0,015	0,014	0,016	0,016	0,016	0,01	
0,6 y	1,83	0,011	0,013	0,015	0,015	0,016	0,012	
0,8 y	2,44	0,01	0,012	0,013	0,015	0,016	0,012	
Tirante "y"	2,68m			SECC	CIÓN 4			
Distancia d	le pared (m)	1	2	3	4	5	6	
horiz	ontal	0 m	1m	2 m	3 m	4 m	5 m	
Profund	: 4 - 4 ()	velocidad lecturada en (m/s), Dist. Horizontal / profundidad						
Fiorund	idad (III)	1	2	3	4	5	6	
0,2 y	0,536	0,02	0,025	0,028	0,03	0,031	0,031	
0,6 y	1,608	0,017	0,025	0,033	0,042	0,049	0,017	
0,8 y	2,144	0,017	0,022	0,031	0,039	0,053	0,028	
Tirante "y"	2,625m				CIÓN 5			
	le pared (m)	1	2	3	4	5	6	
horiz	ontal	0 m	1m	2 m	3 m	4 m	5 m	
Profund	idad (m)				Dist. Horizon			
	` ′	1	2	3	4	5	6	
0,2 y	0,525	0,015	0,018	0,019	0,02	0,02	0,014	
0,6 y	1,575	0,011	0,02	0,028	0,037	0,05	0,027	
0,8 y	2,1	0,014	0,019	0,027	0,038	0,053	0,038	
Tirante "y" 2,56m			2	SECC 3	ZIÓN 6	5		
	le pared (m)	1	1m		3 m	4 m	6	
horizontal		0 m		2 m	Dist. Horizon		5 m	
Profund	idad (m)	1	2	3	4	5	6	
0,2 y	0,512	0,007	0,01	0,014	0,02	0,022	0,008	
0,2 y	1,536	0,007	0.01	0,014	0,02	0,022	0,008	
0,8 y	2,048	0.003	0,005	0,018	0,031	0.017	0,032	
Tirante "y"	,				TRANSICIÓN		0,017	
	e pared (m)	1	2	3	4	5		
	contal	0,14 m	0,28 m	0,42 m	0,56 m	0,71 m		
Profundidad (m)					Horizontal / pi			
		1	2	3	4	5		
	0,162	0,941	0,636	0,51	0,394	0,352		
0,6 v		- /		DE ENTRAD				
0,6 y Tirante "y"			CANAL					
Tirante "y"		1	2	3	4	5		
Tirante "y" Distancia d	0,33m	1 0,10 m	2 0,20 m		4 0,40 m	5 0,50 m		
Tirante "y" Distancia d horiz	0,33m le pared (m) contal	0,10 m	0,20 m	3 0,30 m	4	0,50 m		
Tirante "y" Distancia d	0,33m le pared (m) contal	0,10 m	0,20 m	3 0,30 m	0,40 m	0,50 m		
Tirante "y" Distancia d horiz	0,33m le pared (m) contal	0,10 m velocidad	0,20 m	3 0,30 m (m/s), Dist. I	4 0,40 m Horizontal / pr	0,50 m ofundidad		

Análisis comparativo.

		nsis compara		
ANÁI	LISIS COMP	ARATIVO D	E VELOCID	ADES
7)	alores selecc	cionados más	representativo	os)
	SECCIÓN	1- CANAL D	E SALIDA	
Profundidad	Posición	V.Experimen	V.Simulació	% Variación
0,2y	2m	0,004	0,006	15,30%
0,6y	3m	0,007	0,003	18,20%
0,8y	2m	0,008	0,003	22,40%
	-	SECCIÓN 2		-
Profundidad	Posición	V.Experimer	V.Simulació	% Variación
0,2y	3m	0,003	0,006	16,80%
0,6y	2m	0,004	0,005	20,10%
0,8y	4m	0,005	0,005	12,40%
		SECCIÓN 3		
Profundidad	Posición	V.Experimer	V.Simulació	% Variación
0,2y	4m	0,012	0,016	35,20%
0,6y	5m	0,011	0,016	21,80%
0,8y	2m	0,011	0,012	27,50%
	SECCIO	NES DE EN	TRADA	
Sección	Posición	V.Experimer	V.Simulació	% Variación
Entrada con transición	0,28m	0,672	0,636	15,20%
Canal princip	0,30m	0,652	0,576	18,70%

		CAUDA	ALES MEDI	OS MENSUA	LES Y PRO	DUCCIÓN A	NUAL (L/S)	GESTIÓN 2	020 COSAAI	LT R.L.		
SISTEMAS	ENERO	FEBRERO	MARZO	ABRIL	MAYO	JUNIO	JULIO	AGOSTO	SEPTIEMB RE	OCTUBRE	NOVIEMB RE	DICIEMBR E
Vitoria	337,13	338,98	332,86	332,82	316,68	286,74	171,09	140,15	133,03	140,59	121	271,83
		CAUD	ALES MED	OS MENSU	ALES Y PRO	DUCCIÓN A	ANUAL (L/S) GESTIÓN 2	202 COSAAL	T R.L.		
SISTEMAS	ENERO	FEBRERO	MARZO	ABRIL	MAYO	JUNIO	JULIO	AGOSTO	SEPTIEMB RE	OCTUBRE	NOVIEMB RE	DICIEMBR E
Rincon Vitoria (Desarenad or)	326,04	321,77	332,75	326,69	322,15	303,05	216,63	172,75	159,5	142,22	180,87	248,86
		CAUD	ALES MEDI	OS MENSUA	LES Y PRO	DUCCIÓN A	NUAL (L/S)	GESTIÓN 2	022 COSAAI	LT R.L.		
SISTEMAS	ENERO	FEBRERO	MARZO	ABRIL	MAYO	JUNIO	JULIO	AGOSTO	SEPTIEMB RE	OCTUBRE	NOVIEMB RE	DICIEMBR E
Rincon Vitoria (Desarenad or)	315,66	317,81	320,85	313,82	308,09	228,63	182,07	148,27	112,99	141,72	119,22	243,43
		CAUD	ALES MEDI	OS MENSUA	LES Y PRO	DUCCIÓN A	NUAL (L/S)	GESTIÓN 2	023 COSAAI	LT R.L.		
SISTEMAS	ENERO	FEBRERO	MARZO	ABRIL	MAYO	JUNIO	JULIO	AGOSTO	SEPTIEMB RE	OCTUBRE	NOVIEMB RE	DICIEMBR E
Rincon Vitoria (Desarenad or)	319,55	308,41	318,31	336,2	323,84	292,47	190,64	175,12	145,47	141,27	132,89	275,43
		CAUD	ALES MEDI	OS MENSUA	LES Y PRO	DUCCIÓN A	NUAL (L/S)	GESTIÓN 2	024 COSAAI	LT R.L.		
SISTEMAS	ENERO	FEBRERO	MARZO	ABRIL	MAYO	JUNIO	JULIO	AGOSTO	SEPTIEMB RE	OCTUBRE	NOVIEMB RE	DICIEMBR E
Rincon Vitoria (Desarenad or)	315,6	313,62	315,06	318,55	325,63	279,8						

STEMAS	ENER	FEBRE	MAR	ABR	MAY	JUNI	JULI	AGOS	SEPTIEM	OCTUB	NOVIEMB	DICIEM
ncon Victoria	337.1	110	332.8	332	316.	286.	171.	10	DRE	RE	RE	RE
esarenador)	3	338.98	6	82	68	74	09	140.15	133.03	140.59	121.00	271.83
AUDALES ME	DIOS	MENSU	ALES	Y PR	ODU	CCCI	ON A	NUAL	(1/s)	GESTIC	N 2021	
OSAALT R.L.									(/	0_0		
OSMALI K.L.	ENER	FEBRE	MAR	ABR	MAY	JUNI	JULI	AGOS	SEPTIEM	OCTUB	NOVIEMB	DICIEM
ISTEMAS	0	RO	ZO	IL	O	0	Û	TO	RRE	RE	PF	PF
Rincón Victoria	326.0		332.7	326.	322	303	216.					
Desarenador)	4	321.77	5	69	15	05	63	172.75	159.50	142.22	180.87	248.66
CAUDALES ME COSAALT R.L.		MENSU	ALES	YPR	ODU	CCCI	ON A	NUAL	(1/s)	GESTIĆ	N 2022	
		MENSU	ALES	YPR	ODU	CCCI	ON A	NUAL	(1/s)	GESTIĆ	N 2022	
COSAALT R.L.	ENER	FEBRE	MAR	ABR	MAY	JUNI	JULI	AGOS	SEPTIEM	остив	NOVIEMB	DICIEME
COSAALT R.L.	ENER	FEBRE RO	MAR ZO	ABR IL	MAY	JUNI O	JULI O		()			DICIEME
COSAALT R.L. SISTEMAS Rincón Victoria	ENER O 315.6	FEBRE RO	MAR ZO 320.8	ABR IL 313.	MAY O 308.	JUNI O 228.	JULI O 182.	AGOS TO	SEPTIEM BRE	OCTUB RE	NOVIEMB RE	RE
COSAALT R.L. SISTEMAS Rincón Victoria (Desarenador)	ENER O 315.6	FEBRE RO 317.81	MAR ZO 320.8	ABR IL 313. 82	MAY O 308.	JUNI O 228. 63	JULI 0 182 07	AGOS TO 148.27	SEPTIEM BRE	OCTUB RE 141.72	NOVIEMB RE	
COSAALT R.L. SISTEMAS Rincón Victoria	ENER O 315.6	FEBRE RO 317.81	MAR ZO 320.8	ABR IL 313. 82	MAY O 308.	JUNI O 228. 63	JULI 0 182 07	AGOS TO 148.27	SEPTIEM BRE	OCTUB RE 141.72	NOVIEMB RE	RE
COSAALT R.L. SISTEMAS Rincón Victoria (Desarenador)	ENER 0 315.6 6	FEBRE RO 317.81	MAR ZO 320.8	ABR IL 313. 82	MAY O 308.	JUNI O 228. 63	JULI 0 182 07	AGOS TO 148.27	SEPTIEM BRE 112.99 (1/s) (OCTUB RE 141.72 GESTIÓ	NOVIEMB RE 119.22 N 2023	RE 243,43
COSAALT R.L. SISTEMAS Rincón Victoria (Desaretrador) CAUDALES M COSAALT R.L	ENER O 315.6 6 EDIOS	FEBRE RO 317.81 MENSU	MAR ZO 320.8 5 JALES	ABR IL 313. 82 Y PF	MAY O 308. 09 RODU	JUNI O 228. 63 CCCI	JULI 0 182 07 ON A	AGOS TO 148.27 NUAL	SEPTIEM BRE 112.99 (I/s)(OCTUB RE 141.72 GESTIÓ	NOVIEMB RE 119.22 N 2023	RE 243.43 DICIEMB
COSAALT R.L. SISTEMAS Rincón Victoria (Desaretrador) CAUDALES M	ENER O 315.6 6	FEBRE RO 317.81 MENSU	MAR ZO 320.8 5	ABR IL 313. 82 Y PF	MAY 0 308. 09	JUNI 0 228 63	JULI 0 182 07	AGOS TO 148.27	SEPTIEM BRE 112.99 (1/s) (OCTUB RE 141.72 GESTIÓ	NOVIEMB RE 119.22 N 2023	RE

SUMULACION A CAUDAL MAXIMO

SUMULACIÓN A CAUDAL MAXIMO VELOCICADES DE SIMULACIÓN EN DESARENADOR OPTIMIZADO "Q = 339 L/S") T /O!!	
		E SIMULAC	JON EN DE			ADO " $Q = 339$	9 L/S"
Tirante "y"		1	2	SECC 3	ZIÓN 1	5	(
Distancia d horiz	e pared (m)				4		6
погіх	оптат	0 m	1m	2 m	3 m	4 m	5 m
Profundi	dad (m)					tal / profundi	
0.2	0.61	1	2	3	4	5	6
0,2 y	0,61	0,036	0,112	0,137	0,113	0,084	0,025
0,6 y	1,83	0,024	0,067	0,064	0,067	0,072	0,056
0,8 y	2,44	0,015	0,056	0,053	0,069	0,077	0,076
Tirante "y"	2,73				ZIÓN 2	-	
	e pared (m)	1	2	3		5	6
horiz	ontai	0 m	1m	2 m	3 m	4 m ntal / profundi	5 m
Profundi	idad (m)						
0.0	0.546	1	2	3	4	5	6
0,2 y	0,546	0,027	0,059	0,053	0,041	0,042	0,011
0,6 y	1,638	0,073	0,186	0,17	0,123	0,114	0,047
0,8 y	2,184	0,104	0,227	0,176	0,172	0,129	0,113
Tirante "y"	3,05		_		ZIÓN 3	_	
Distancia d		1	2	3	3	5	6
horiz	ontai	0 m	1m	2 m	3 m	4 m ntal / profundi	5 m
Profundi	idad (m)						
0.2	0.61	1	2	3	4	5	6
0,2 y	0,61	0,027	0,19	0,18	0,16	0,159	0,033
0,6 y	1,83	0,034	0,161	0,148	0,133	0,12	0,021
0,8 y	2,44	0,027	0,104	0,092	0,08 ZIÓN 4	0,07	0,01
Tirante "y"	2,68		_			_	
	e pared (m)	1	2	3	4	5	6
horiz	ontai	0 m	1m	2 m	3 m	4 m	5 m
Profundi	idad (m)					ıtal / profundi	
0.2	0.525	1	2	3	4	5	6
0,2 y	0,536	0,045	0,143	0,139	0,125	0,112	0,037
0,6 y	1,608	0,065	0,205	0,199	0,149	0,109	0,034
0,8 y	2,144	0,073	0,228	0,221	0,149 CIÓN 5	0,101	0,042
Tirante "y"	2,625				1	_	
	e pared (m)	1	2	3	4 3 m	5	6
horiz	ontai	0 m	1m	2 m		4 m ntal / profundi	5 m
Profundi	idad (m)	1	2		4	fiai / prorundi 5	
0,2 y	0,525	0,036	0,12	3 0,122	0,127	0,139	6 0,015
	1,575	0,036	0,12	0,122	0,127	0,139	0,015
0,6 y	2.1		,	,	,		
0,8 y	2,1	0,135	0,549	0,818	0,646 ZIÓN 6	0,439	0,03
Tirante "y"		1	2	3	4	5	6
Distancia d horiz	e pared (m)	0 m	1m	2 m	3 m	4 m	6 5 m
						4 m ntal / profundi	
Profundi	dad (m)	1	2	3	Dist. Horizon	5	6
0,2 y	0,512	0,056	0,149	0,056	0,062	0,062	0,014
	1,536					0,062	0,014
0,6 y		0,33	0,429	0,311 0,327	0,101 0,105	0,048	0,021
0,8 y Tirante "y"	2,048 0,27	0,143 SECCIÓ			RANSICIÓN		0,014
Distancia d		1	2	3	4	5 85cm	
Distancia d horiz		0,14 m	0,28 m	0,42 m	0,56 m	0.71 m	
попи	ontal				U,56 m Horizontal / pr	- , .	
Profundi	dad (m)	veiocidad 1	2	(m/s), Dist. F	4	5	
0,6 y	0,162	0,938	1,002	0,788	0,378	0,34	
		0,938		DE ENTRAD		0,34	
Tirante "y"		1	CAINAL	3	A OUCIII	5	
Distancia d			0.20		0.40		
horiz	ontai	0,10 m	0,20 m	0,30 m	0,40 m	0,50 m	
Profundi	idad (m)	velocidad	iecturada en		Horizontal / pi	orunaidad	
0.6	0.100	0.027	0.000	3	4	0.000	
0,6 y	0,198	0,827	0,828	0,828	0,828	0,828	

SIMULACION A CAUDAL MAXIMO ACTUAL

	SIMULACION						
		ADES DE SI	MULACIÓN			= 339 L/S"	
Tirante "y"	3,05				ZIÓN 1		
Distancia d		1	2	3	4	5	6
horiz	ontal	0 m	1m	2 m	3 m	4 m	5 m
Profundi	idad (m)	vel	ocidad lectura	ada en (m/s),	Dist. Horizon	ital / profundi	dad
	ddd (III)	1	2	3	4	5	6
0,2 y	0,61	0,398	0,349	0,289	0,283	0,307	0,322
0,6 y	1,83	0,263	0,255	0,223	0,196	0,182	0,155
0,8 y	2,44	0,218	0,228	0,18	0,142	0,119	0,114
Tirante "y"	2,73			SECC	ZIÓN 2		
Distancia d	e pared (m)	1	2	3	4	5	6
horiz	ontal	0 m	1m	2 m	3 m	4 m	5 m
Profundi	idad (m)	vel	ocidad lectura	ada en (m/s),	Dist. Horizon	ital / profundi	dad
Troruna	dad (III)	1	2	3	4	5	6
0,2 y	0,546	0,188	0,196	0,204	0,197	0,189	0,162
0,6 y	1,638	0,125	0,215	0,201	0,181	0,163	0,139
0,8 y	2,184	0,135	0,217	0,19	0,16	0,146	0,124
Tirante "y"	3,05			SECC	ZIÓN 3		
Distancia d	e pared (m)	1	2	3	4	5	6
horiz	ontal	0 m	1m	2 m	3 m	4 m	5 m
Profundi	dod (m)		ocidad lectura	ada en (m/s),	Dist. Horizon	ital / profundi	
Fiorundi	udu (III)	1	2	3	4	5	6
0,2 y	0,61	0,159	0,158	0,157	0,152	0,145	0
0,6 y	1,83	0,207	0,202	0,196	0,167	0,15	0,047
0,8 y	2,44	0,239	0,218	0,186	0,159	0,143	0,046
Tirante "y"	2,68			SECC	CIÓN 4		
Distancia d	e pared (m)	1	2	3	4	5	6
horiz	ontal	0 m	1m	2 m	3 m	4 m	5 m
Profundi	dod (m)	vel	ocidad lectura	ada en (m/s),	Dist. Horizon	ıtal / profundi	dad
Prolundi	dad (m)	1	2	3	4	5	6
0,2 y	0,536	0,137	0,133	0,127	0,123	0,123	0,105
0,6 y	1,608	0,164	0,241	0,213	0,182	0,152	0,118
0,8 y	2,144	0,294	0,306	0,268	0,194	0,15	0,121
Tirante "y"	2,625			SECC	CIÓN 5		
Distancia d	e pared (m)	1	2	3	4	5	6
horiz	ontal	0 m	1m	2 m	3 m	4 m	5 m
Profundi	dod (m)	vel	ocidad lectura	ada en (m/s),	Dist. Horizon	ıtal / profundi	dad
Fiolulidi	idad (III)	1	2	3	4	5	6
0,2 y	0,525	0,065	0,084	0,074	0,078	0,081	0,07
0,6 y	1,575	0,21	0,193	0,161	0,161	0,116	0,091
0,8 y	2,1	0,324	0,312	0,28	0,184	0,122	0,091
Tirante "y"	2,56			SECC	ZIÓN 6		
Distancia d	e pared (m)	1	2	3	4	5	6
horiz	ontal	0 m	1m	2 m	3 m	4 m	5 m
Profundi	idad (m)	vel	ocidad lectura	ada en (m/s),	Dist. Horizon	ıtal / profundi	dad
rioiuildi	idad (III)	1	2	3	4	5	6
0,2 y	0,512	0,034	0,107	0,119	0,051	0,064	0,053
0,6 y	1,536	0,228	0,232	0,132	0,091	0,057	0,038
0,8 y	2,048	0,182	0,369	0,249	0,109	0,043	0,027
Tirante "y"	0,27	SECCIÓ	N DE ENTR	ADA CON T	RANSICIÓN	V "85cm"	
Distancia d	e pared (m)	1	2	3	4	5	
horiz	ontal	0,14 m	0,28 m	0,42 m	0,56 m	0,71 m	
Profundi	dad (m)	velocidad	lecturada en	(m/s), Dist. F	Iorizontal / pr	ofundidad	
Troitildi	add (III)	1	2	3	4	5	
0,6 y	0,162	0,74	0,822	0,619	0,425	0,28	
Tirante "y"	0,33		CANAL I	DE ENTRAD	A "60cm"		
Distancia d	e pared (m)	1	2	3	4	5	
horiz	ontal	0,10 m	0,20 m	0,30 m	0,40 m	0,50 m	
Profundi	idad (m)	velocidad	lecturada en	(m/s), Dist. H	Iorizontal / pı	ofundidad	
Floidhdi	iuau (III)	1	2	3	4	5	
0,6 y	0,198	0,842	0,871	0,816	0,871	0,842	
							•

Análisis comparativo de velocidades.

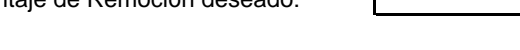
ANÁLISIS C	NÁLISIS COMPARATIVO DE MEJORAS EN VELOCIDADE						
Sección	Ubicación	Velocidad Mejorada (m/s)	Velocidad Actual (m/s)	% De Mejora			
SEC 1	Canal de salida	0,137	0,289	110,90%			
SEC 2	Centro	0,17	0,201	18,20%			
SEC 3	Antes de la pantalla	0,18	0,157	-12,80%			
SEC 4	Centro	0,199	0,213	7,00%			
SEC 5	Centro	0,244	0,161	-34,00%			
SEC 6	Centro	0,311	0,132	-57,60%			
SEC 7	transición	1,002	0,822	-18,00%			
SEC 8	canal de entrada	0,828	0,816	-1,40%			

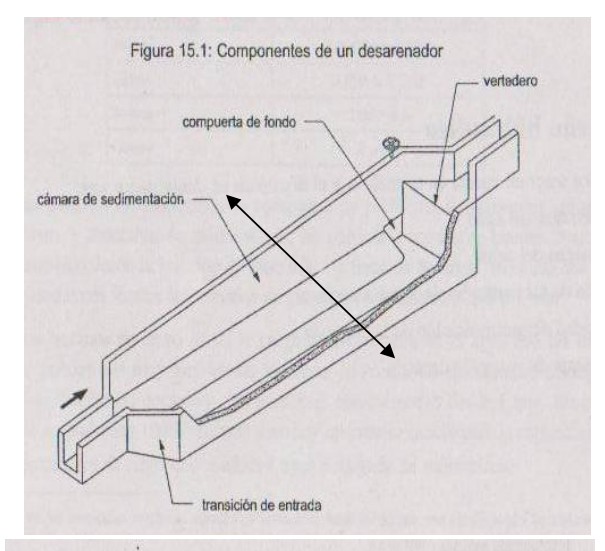
DISEÑO DE UN DESARENADOR PARA RIEGO

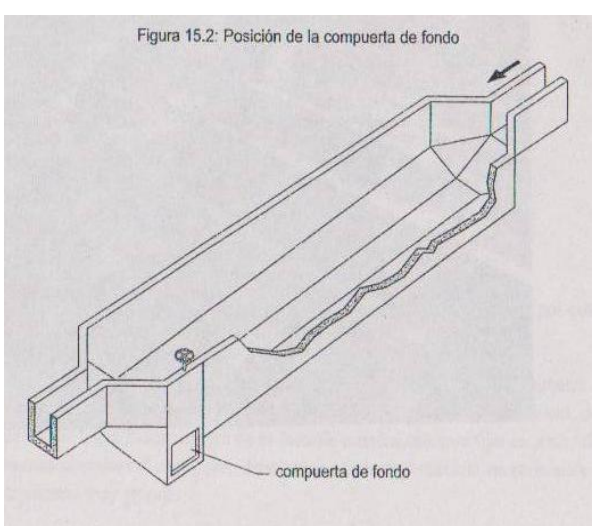
 $\begin{array}{cccc} Qd= & & 0,339 & m3/s \\ d= & & 0,06 & mm \\ T= & & 15 & c \\ Visc. Cin= & 1,00E-06 & m2/s \end{array}$

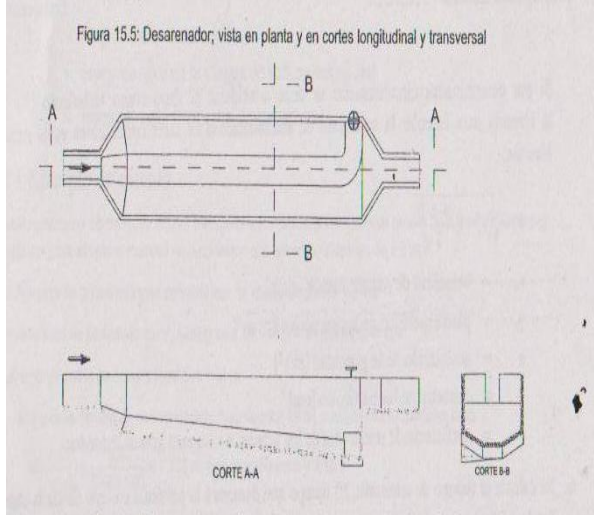
(0,06 - 2 mm para arenas)

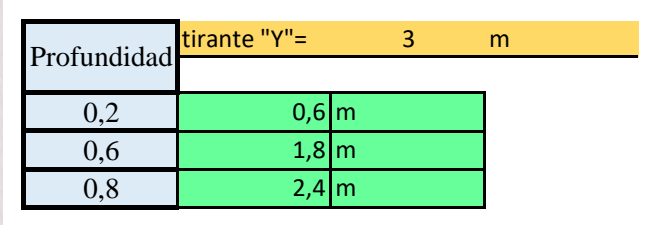
Porcentaje de Remoción deseado:

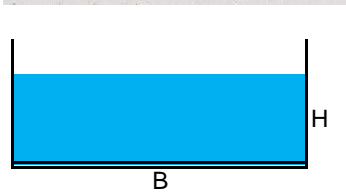








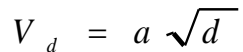




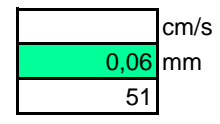
~		
	0,2y 🛟 🕇 🕇	0,6
	0,6y	1,8
	0,8y	2,4

CÁMARA DE SEDIMENTACIÓN

Velocidad de escurrimiento (horizontal)



Vd = d = a=



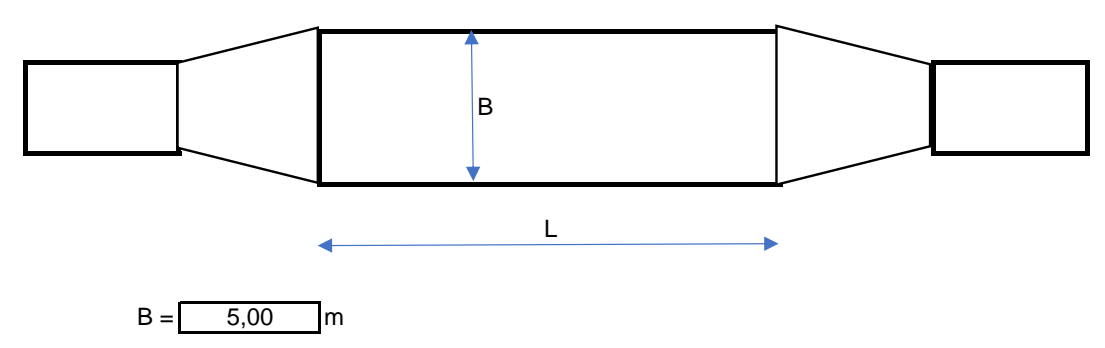
Velocidad de escurrimiento (horizontal) diametro de la partícula Coeficiente de decantación (tabla15,2)

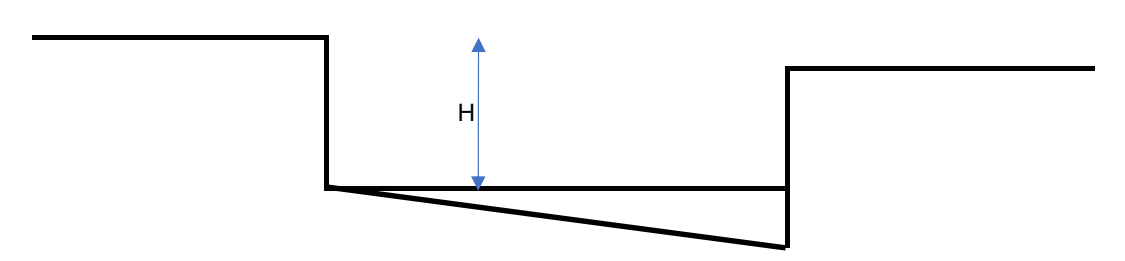
Diámetro D	Coeficiente a
D < 0.1 mm	51
0.1 mm < D < 1 mm	44
D > 1 mm	36

Vd =	12,5	cm/s
Vd =	0,12	m/s

Determinación de las dimensiones minimas de la caja sedimentadora:

Asumimos un valor de B según la topografia lo permite, verificamos y cambiamos si hace falta.





Altura de la camara de sedimentación

Hmax = 1,2 m

$$H = \frac{Q}{V_d \times B}$$

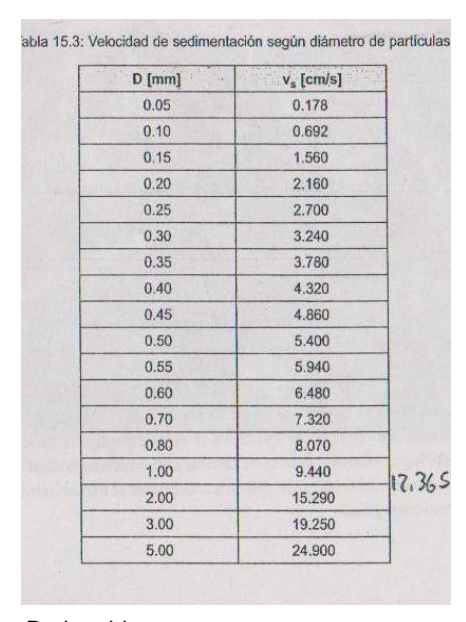
Qd= 0,339 m3/s

$$Vd = 0,125 \\ B = 0,000 \\ M =$$

Velocidad de sedimentacion (vertical)

d = 0,06 mm
Peso Esp= 2,60 -2,65 Peso específico de las arenas (casi invariable)

Para arenas dentro de ese rango: La velocidad de sedimentación la sacamos de la siguiente Tabla (Arkhangelski)



De la tabla tenemos que:

Vs =	0,178	cm/s
Vs =	0,00178	m/s

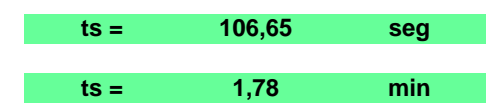
Verificamos que este en flujo laminar; si se considera turbulento se utiliza la formula de Newton.

Tiempo de retencion:

$$t_s = \frac{H}{V_s}$$

 $\begin{array}{ccc} \text{Para turbulento} \\ \text{H =} & 0,543 \text{ m} \\ \text{Vs =} & 0,005 \text{ m/s} \end{array}$

H = 0,543 mVs = 0,005 m/s ts = 106,65 seg



Longitud de la cámara

$$L = K \cdot V_d \cdot t_s$$

Velocidad de escurrimiento (m/s)	К
0.20	1.25
0.30	1.50
0.50	2.00

 $\begin{array}{ccc} \text{Vd=} & & 0,125 \\ \text{ts=} & & 106,647 \\ \text{k=} & & 2,00 \end{array} \\ \begin{array}{cccc} \text{m/s} & \text{Veloci de esc.} \\ \text{tiempo de retenc.} \\ \text{Coeficiente de seguridad en funcion de Vd} \\ \end{array}$

	L=	26,65	m
doptamos:	L=	31,00	m

Tiempo de retension hidraulico

q=V/t

t = V/q

30 min a 240 min

Dimensiones contructivas:

	VALOR CALCULADO (m)	VALOR ADOPTADO (m)
В	5	5,00
Н	0,54	4,00
L	26,65	30,00

TRANSICION DE ENTRADA

$$L_t = \frac{b_1 - b_2}{2.tg \ \alpha}$$

Donde:

b1 espejo de agua en el canal aguas arriba b2 espejo de agua en el canal aguas abajo

α =

Reemplazando en la formula tenemos

0,70	m
5,00	m
12,5	grados

L = 9,70 m

Adoptamos:

Lt = 0,50 m

VERTEDERO DE SALIDA

h_v = tirante sobre el vertedero de salida

Para el cálculo del tirante sobre el vertedero de salida puede utilizarse la fórmula de Francis sin considerar contracciones laterales.

$$h_{v} = \left(\frac{Q}{1,84 \cdot b}\right)^{2/3}$$

Q = 0,34 m3/sB = 5,00 m

hv = 0,11 m



PARA UNA SECCION RECTANGULAR

Qd= 0.339 m3/s Re = $v^*(L)/V$ isc

В	Н	Rh =A/P	Lk	Vel	Vel Visc. Cinem	
m	m	m	m	m/s	m2/s	
5,0	4,00	1,54	1,54	0,02	1,00E-06	26.077
						TURBULENTO

Velocidad de sedimentación

Formula de Newton.

$$W = \sqrt{(s-1)*\frac{4*g*d}{3*C}}$$

W=cm/sVelocidad de sedimentacións=2,65 gr/cm^3peso especifico de las particulas (2,6 - 2,65)d=0,006 cm.diametro de la particulaC=0,5 adim.coeficiente de resistencia de los granos (c=0,5 granos redondos)

W=	0,509	cm/s
W=	0,005	m/s

Datos topográficos lecturadas.					
Punto	Norte (m)	Este (m)	Cota (m)		
1	7618212,3	316846,88	1997,19		
2	7618207,8	316877,85	2000,12		
3	7618193,9	316905,9	2001,35		
4	7618172	316928,28	2010,86		
5	7618144,2	316942,81	2002,52		
6	7618113,3	316948,05	2002,5		
7	7618082,3	316943,51	2003,35		
8	7618054,2	316929,61	2003,57		
9	7618031,8	316907,73	2004,55		
10	7618017,3	316880,01	2004,95		
11	7618012,1	316849,15	2004,23		
12	7618016,6	316818,18	2005,42		
13	7618030,5	316790,13	2006,21		
14	7618052,4	316767,75	2010,5		
15	7618080,2	316753,22	2007		
16	7618111,1	316747,97	2002,5		
17	7618142	316752,52	2008,02		
18	7618170,1	316766,41	2001,42		
19	7618192,5	316788,29	2006,85		
20	7618207,1	316816,02	2010,73		

DISEÑO DE UN DESARENADOR

i) Desarenadores

Tienen por objeto extraer del agua cruda, la gravilla, arena y partículas minerales más o menos finas.

El desarenado se refiere a partículas mayores a 200 micrómetros (0,2 mm) y peso específico de 2 650 kg/m3

Parámetros de diseño:

El dimensionamiento de las unidades debe estar en función de la velocidad de sedimentación $V_{\rm s}$ y la velocidad de escurrimiento horizontal $V_{\rm h}$, Se verificará que la velocidad de resuspensión $V_{\rm a}$ sea mayor a la velocidad horizontal $V_{\rm h}$.

Carga superficial

La velocidad de sedimentación V_S se expresa generalmente como carga superficial (q)

Velocidad de sedimentación

Se pueden tomar como base los valores de carga superficial de la Tabla 10.1 y 10.2, válidos en sedimentación libre, para partículas de peso específico 2 650 kg/m3.

Velocidad de resuspensión

Para evitar la resuspensión de las partículas, la velocidad de arrastre Va debe ser mayor que la velocidad horizontal V_h.

DATOS:

Q =	339 L/s	Caudal de diseño	
d =	0,06 mm	Tamaño de particula	(0,06 - 2 mm para arenas)

DIMENSIONAMIENTO

Velocidad de escurrimiento horizontal

La velocidad horizontal V_h debe estar en el rango de 0,30 m/s a 0,40 m/s con periodos de retención de 30 s a 120 s que permiten la sedimentación de las partículas de arena.

$$V_h = \frac{Q}{B \star H}$$

Donde: Velocidad de escurrimiento horizontal en m/

> Q Caudal de diseño en m3/s В Ancho del desarenador en m Profundidad del desarenador en m

Cálculo de la profundidad del desarenador

Q =	339 L/s	0,339	m3/s
Vh =	0,3 m/s	velocidad	recomendable de 0,3 a 0,4 m/s
Adptamos I	B =	5 m	Hacemos variar buscando B/H = 1

Calculamos H de la anterior expresion de la Vh:

Profundidad del desarenador

Velocidad de escurrimiento horizontal en m/s V_h

Adoptamos:
$$H = \begin{bmatrix} 4 \\ m \end{bmatrix}$$

Debe cumplir la relación :

$$0.8 \le \frac{B}{H} \le 1$$

Por condiciones de pared y considerando la formación de lineas de corriente es recomendable verificar esta relacion.

$$B/H = 1,25$$

Cumple!

Correccion de la velocidad horizontal

Velocidad de escurrimiento horizontal

La velocidad horizontal $V_{\rm h}$ debe estar en el rango de 0,30 m/s a 0,40 m/s con periodos de retención de 30 s a 120 s que permiten la sedimentación de las partículas de arena.

$$V_h = \frac{Q}{B * H}$$

Donde: V_h Velocidad de escurrimiento horizontal en m/

Q Caudal de diseño en m³/s

B Ancho del desarenador en m H Profundidad del desarenador en m

Superficie del desarenador

$$q = \frac{Q}{A_s}$$
; $A_s = B * L$

Donde: q Carga superficial adoptada en m³/m²s

Q Caudal de diseño en m³/s A_e Área superficial en m²

B Ancho del desarenador en m

Recomendable: 0,60 m (mínimo)

L Largo del desarenador en m

Relación largo – ancho: L B = 7 a 12

Velocidad de sedimentación

Se pueden tomar como base los valores de carga superficial de la **Tabla 10.1** y **10.2**, válidos en sedimentación libre, para partículas de peso específico 2 650 kg/m3.

Tabla 10.1. Cargas superficiales en desarenadores

d (mm)	0.05	0.1	0.2	0.3	0.4	0.5	1	2	3	5	10
Vc (mm/s)	2	7	23	40	56	72	150	270	350	470	740
Vc' (mm/s)	0	5	17	30	40	50	110	210	260	330	-
Vc" (mm/s)	0	0	16	30	45	60	130	250	330	450	650
VI (mm/s)	150	200	270	320	380	420	600	830	1000	1300	1900

Vc = Velocidad de sedimentación para un fluido de velocidad horizontal nula

Vc' = Velocidad de sedimentación para un fluido de velocidad horizontal igual a VI

Vc" = Velocidad de sedimentación para un fluido de velocidad horizontal igual a 0.30 m/s.

VI = Velocidad de sedimentación crítica de arrastre de la partícula depositada.

(Fuente: Degremont; 1974)

d = 0,06 mm

Cálculo de la longitud

		_
H =	4,00	
Q =	339	L/s
q = Vc"	3,3	mm/s
\/I -	150	mm/s

0,339	m3/s
0,0033	m/s
0,15	m/s

Velocidad de sedimentación crítica

La velocidad de sedimentación crítica V_{SC} corresponde a una velocidad minorada por factores tales como: gradientes de temperatura (ambiente y agua), cortocircuitos, zonas muertas, deficiencias en los dispositivos de entrada y salida. Se debe considerar un factor minorante "f" que varía de 10 al 30 % (f =1,1 a 1,3)

$$V_{sc} = \frac{V_s}{f}$$

$$Vs = 0,003 \text{ m/s}$$

 $f = 1,5$

Vsc = 0,002 m/s

m

$$q = \frac{Q}{A_s}$$
 ; $A_s = B * L$

154,09 As = m2 30,82 m

31,00

Longitud minima del desarenador

adoptamos:

Relación largo – alto: L = 15 a 22,5

Se debe cumplir que:

 $L/H = V_h/V_{sc}$

Largo del desarenador en m Relación largo – ancho: $\frac{L}{B}$ = 7 a 12

debe hacer cumplir L/H

L/H =7,70 **Cumple**; 7,70

L/B= 6,20

Velocidad de escurrimiento horizontal

Vh/Vsc =

La velocidad horizontal V_h debe estar en el rango de 0,30 m/s a 0,40 m/s con periodos de retención de 30 s a 120 s que permiten la sedimentación de las partículas de arena.

$$V_h = \frac{Q}{B \star H}$$

Velocidad de escurrimiento horizontal en m/ Donde:

V_h Q B Caudal de diseño en m3/s Ancho del desarenador en m Profundidad del desarenador en m

Tiempo de retencion:

$$t_s = \frac{H}{V_s}$$
 v = d/t





Cumple;



Resúmen de dimensiones del desarenador:

	VALOR CALCULADO (m)	VALOR ADOPTADO (m)
В	5	0,60
Н	4,00	0,50
1	31.00	7.50

TRANSICION DE ENTRADA

$$L_t = \frac{b_1 - b_2}{2.tg \ \alpha}$$

Donde:

b1 espejo de agua en el canal aguas arriba b2 espejo de agua en el canal aguas abajo 0,30 m 0,60 m 12,5 grados

Reemplazando en la formula tenemos

L = 0,68 m

Adoptamos:

1.4	
Lt = 0,70 m	

TRANSICION DE SALIDA

$$L_{t} = \frac{b_{1} - b_{2}}{2.tg \ \alpha}$$

Donde:

b1 espejo de agua en el canal aguas arriba b2 espejo de agua en el canal aguas abajo α =

0,60 m 0,30 m 12,5 grados

Reemplazando en la formula tenemos

L = 0,31 m

Adoptamos:

Lt =	2,75	m

ESTRUCTURA CON NUEVO DISEÑO										
		URADAS EN	N DESAREN	ADOR CON	AYUDA DE	L SOFTWAR	RE "Q = 339 L/S"			
Tirante "y"	3,1		S	ECCIÓN EN	ZONA DE S	ALIDA				
Distancia d	e pared (m)	1	2	3	4	5	6			
horiz	ontal	0 m	1m	2 m	3 m	4 m	5 m			
Profundi	dad (m)	,	ndidad							
Tioruna	idad (III)	1	2	3	4	5	6			
0,2 y	0,536	0,051	0,055	0,055	0,061	0,072	0,034			
0,6 y	1,608	0,08	0,046	0,072	0,079	0,049	0,09			
0,8 y	2,144	0,064	0,051	0,062	0,079	0,057	0,071			
Tirante "y"	2,7		SECCIÓN	N ZONA ME	DIA DE SED	IMENTACIÓ	ÓN			
Distancia d	e pared (m)	1	2	3	4	5	6			
horiz	ontal	0 m	1m	2 m	3 m	4 m	5 m			
Profundi	dad (m)	,		turada en (m/	s), Dist. Horiz	zontal / profu				
1 TOTUILUI	idad (III)	1	2	3	4	5	6			
0,2 y	0,525	0,046	0,038	0,065	0,09	0,039	0,049			
0,6 y	1,575	0,067	0,041	0,076	0,094	0,042	0,077			
0,8 y	2,1	0,059	0,034	0,077	0,079	0,033	0,07			
Tirante "y"	2,56	SECC	CIÓN EN LA	ENTRADA	A LA ZONA	DE SEDIME	ENTACIÓN			
Distancia d	* '	1	2	3	4	5	6			
horiz	ontal	0 m	1m	2 m	3 m	4 m	5 m			
Profundi	dad (m)	·	velocidad lec	turada en (m/	s), Dist. Horiz	zontal / profu	ndidad			
Tioruna	idad (III)	1	2	3	4	5	6			
0,2 y	0,512	0,119	0,051	0,089	0,111	0,05	0,07			
0,6 y	1,536	0,078	0,057	0,08	0,092	0,042	0,057			
0,8 y	2,048	0,077	0,048	0,088	0,083	0,052	0,056			
Tirante "y"	0,53	SECCIÓ			RANSICIÓN	l "85cm"				
Distancia d	e pared (m)	1	2	3	4	5				
horiz	ontal	0,14 m	0,28 m	0,42 m	0,56 m	0,71 m				
Profundi	dad (m)	velocidad	lecturada en	(m/s), Dist. H	Iorizontal / pr	ofundidad				
Tioruna	idad (III)	1	2	3	4	5				
0,6 y	0,318	0,568	0,941	0,958	0,871	0,617				
Tirante "y"		SEC	CIÓN EN C	ANAL DE EI	NTRADA "60					
Distancia d		1	2	3	4	5				
horiz	ontal	0,10 m	0,20 m	0,30 m	0,40 m	0,50 m				
Profundi	dad (m)	velocidad	lecturada en	(m/s), Dist. H	Iorizontal / pr	ofundidad				
1 TOTUILUI	idad (III)	1	2	3	4	5				
0,6 y	0,396	0,685	0,951	1,014	0,951	0,72				

	ESTRUCTURA OPTIMIZADA CON PANTALLA									
VELOCID.	A DEC LECT						RE "Q = 339 L/S"			
Tirante "y"	3,1	UKADAS EI		<mark>ADOR CON</mark> ECCIÓN EN			Œ Q = 339 L/S			
		1	2	3	4	5	6			
Distancia d horiz	e pared (m)	0 m	1m	2 m	3 m	4 m	5 m			
110112	ontai		velocidad lecturada en (m/s), Dist. Horizontal / profui							
Profundi	idad (m)	1	2	3	4	5	6			
0,2 y	0,536	0,036	0,112	0,137	0,113	0,084	0,025			
0,2 y	1,608	0,034	0,067	0,064	0,067	0,072	0,023			
0,8 y	2,144	0,015	0,056	0,063	0,069	0,072	0,076			
Tirante "y"	2,144	0,013				OMENTACIÓ				
	e pared (m)	1	2	3	4	5	6			
horiz		0 m	1m	2 m	3 m	4 m	5 m			
						zontal / profu				
Profundi	idad (m)	1	2	3	4	5	6			
0,2 y	0,525	0,045	0,143	0,139	0,125	0,112	0,037			
0,6 y	1,575	0,065	0,205	0,199	0,149	0,109	0,034			
0,8 y	2,1	0,073	0,228	0,221	0,149	0,101	0,042			
Tirante "y"	2,56	SECO		ENTRADA	A LA ZONA	DE SEDIMI	ENTACIÓN			
Distancia d	e pared (m)	1	2	3	4	5	6			
horiz	-	0 m	1m	2 m	3 m	4 m	5 m			
D C 1	.1.1()	velocidad lecturada en (m/s), Dist. Horizontal / profundidad								
Profundi	idad (m)	1	2	3	4	5	6			
0,2 y	0,512	0,056	0,149	0,056	0,062	0,062	0,014			
0,6 y	1,536	0,33	0,429	0,311	0,101	0,048	0,021			
0,8 y	2,048	0,143	0,931	0,327	0,105	0,042	0,014			
Tirante "y"	0,53	SECCIÓ	N DE ENTR	ADA CON T	RANSICIÓN	N "85cm"				
Distancia d	e pared (m)	1	2	3	4	5				
horiz	ontal	0,14 m	0,28 m	0,42 m	0,56 m	0,71 m				
Profundi	ided (m)	velocidad	lecturada en	(m/s), Dist. H	Iorizontal / pı	ofundidad				
Florundi	iuau (III)	1	2	3	4	5				
0,6 y	0,318	0,938	1,002	0,788	0,378	0,34				
Tirante "y"	"y" 0,66 SECCIÓN EN CANAL DE ENTRADA "60cm"									
	e pared (m)	1	2	3	4	5				
horiz	ontal	0,10 m	0,20 m	0,30 m	0,40 m	0,50 m				

velocidad lecturada en (m/s), Dist. Horizontal / profundidad

3

0,828

2

0,828

5

0,828

4

0,828

Profundidad (m)

0,396

0,827

0,6 y

FSTR	TOT	A GIT	ACT	TAT

	ESTRUCTURA ACTUAL VELOCIDADES LECTURADAS EN DESARENADOR CON AYUDA DEL SOFTWARE "Q = 339 L/S"											
VELOCID Tirante "y"	ADES LECT 3,1	URADAS EN		<mark>ADOR CON</mark> ECCIÓN EN			RE " $Q = 339 \text{ L/S}$ "					
	e pared (m)	1	2	3	4	5	6					
	contal	0 m	1m	2 m	3 m	4 m	5 m					
			ndidad									
Profund	idad (m)	1	2	3	4	5	6					
0,2 y	0,536	0,398	0,349	0,289	0,283	0,307	0,322					
0,6 y	1,608	0,263	0,225	0,223	0,196	0,182	0,155					
0,8 y	2,144	0,218	0,228	0,18	0,142	0,119	0,114					
Tirante "y"	2,7		SECCIÓN	N ZONA ME	DIA DE SED	IMENTACIÓ	ŃΝ					
	e pared (m)	1	2	3	4	5	6					
horiz	ontal	0 m	1m	2 m	3 m	4 m	5 m					
Profund	idad (m)	,	velocidad lec	turada en (m/	s), Dist. Hori	zontal / profu	ndidad					
Troruna	idud (III)	1	2	3	4	5	6					
0,2 y	0,525	0,137	0,133	0,127	0,123	0,123	0,105					
0,6 y	1,575	0,164	0,241	0,213	0,182	0,152	0,118					
0,8 y	2,1	0,294	0,306	0,268	0,194	0,15	0,121					
Tirante "y"	2,56	SECC	CIÓN EN LA	ENTRADA	A LA ZONA	DE SEDIME	ENTACIÓN					
	e pared (m)	1	2	3	4	5	6					
horiz	ontal	0 m	1m	2 m	3 m	4 m	5 m					
Profund	idad (m)					zontal / profu						
	()	1	2	3	4	5	6					
0,2 y	0,512	0,034	0,107	0,119	0,051	0,064	0,053					
0,6 y	1,536	0,228	0,232	0,132	0,091	0,057	0,038					
0,8 y	2,048	0,182	0,369	0,249	0,109	0,043	0,027					
Tirante "y"	0,53	SECCIÓ	N DE ENTR	ADA CON T	RANSICIÓN	V "85cm"						
	e pared (m)	1	2	3	4	5						
horiz	ontal	0,14 m	0,28 m	0,42 m	0,56 m	0,71 m						
Profund	idad (m)			(m/s), Dist. H	_							
	` ′	1	2	3	4	5						
0,6 y	0,318	0,74	0,822	0,619	0,425	0,28						
Tirante "y" 0,66 SECCIÓN EN CANAL DE ENTRADA "60cm"												
	e pared (m)	1	2	3	4	5						
horiz	ontal	0,10 m	0,20 m	0,30 m		0,40 m 0,50 m						
Profund	idad (m)			(m/s), Dist. H								
	, ,	1	2	3	4	5						
0,6 y	0,396	0,842	0,871	0,816	0,871	0,842						

Velocidades en desarenador, nuevo diseño.

VELOCIDADES LECTURADAS EN DESARENADOR CON AYUDA DEL SOFTWARE "Q = 339 L/S"										
Tirante "y"				ECCIÓN EN						
	e pared (m)	1	2	3	4	5	6			
horiz	ontal	0 m	1m	2 m	3 m	4 m	5 m			
Profundi	ded (m)	,	velocidad lec		s), Dist. Horiz	zontal / profu				
Profundidad (m)		1	2	3	4	5	6			
0,2 y	0,536	0,051	0,055	0,055	0,061	0,072	0,034			
0,6 y	1,608	0,08	0,046	0,072	0,079	0,049	0,09			
0,8 y	2,144	0,064	0,051	0,062	0,079	0,057	0,071			
Tirante "y"	2,7m		SECCIÓN			IMENTACIÓ	ÓN			
	e pared (m)	1	2	3	4	5	6			
horiz	ontal	0 m	1m	2 m	3 m	4 m	5 m			
Profundi	dad (m)	,	velocidad lec		s), Dist. Horiz	zontal / profu				
Tioruna	idad (III)	1	2	3	4	5	6			
0,2 y	0,525	0,046	0,038	0,065	0,09	0,039	0,049			
0,6 y	1,575	0,067	0,041	0,076	0,094	0,042	0,077			
0,8 y	2,1	0,059	0,034	0,077	0,079	0,033	0,07			
Tirante "y"	2,56m	SECO	CIÓN EN LA		A LA ZONA	DE SEDIME	ENTACIÓN			
Distancia d		1	2	3	4	5	6			
horiz	ontal	0 m	1m	2 m	3 m	4 m	5 m			
Profundi	dad (m)					zontal / profu				
	` ′	1	2	3	4	5	6			
0,2 y	0,512	0,119	0,051	0,089	0,111	0,05	0,07			
0,6 y	1,536	0,078	0,057	0,08	0,092	0,042	0,057			
0,8 y	2,048	0,077	0,048	0,088	0,083	0,052	0,056			
Tirante "y"		SECCIÓ	N DE ENTR	ADA CON T		V "85cm"				
	e pared (m)	1	2	3	4	5				
horiz	ontal	0,14 m	0,28 m	0,42 m	0,56 m	0,71 m				
Profundi	idad (m)			(m/s), Dist. H						
	` ′	1	2	3	4	5				
0,6 y	0,318	0,568	0,941	0,958	0,871	0,617				
Tirante "y"				ANAL DE EN						
	e pared (m)	1	2	3	4	5				
horiz	ontal	0,10 m	0,20 m	0,30 m	0,40 m	0,50 m				
Profundi	idad (m)			(m/s), Dist. H						
		1	2	3	4	5				
0,6 y	0,396	0,685	0,951	1,014	0,951	0,72				

Porcentaje de variación en estructura actual vs estructura optimizada.

ESTRUCTURA OPTIMIZADA CON PANTALLA									
LOCIDA	DES LECTI					SOFTWARI	E "O = 339 I		
Tirante "y				CIÓN EN ZO			_ Q 337 L		
	ia de pared	1	2	3	4	5	6		
	orizontal	0 m	1m	2 m	3 m	4 m	5 m		
. ,		O III	3 111						
Profun	didad (m)	1	2	RCENTAJE I 3	4	5	6		
0,2 y	0,536	91%	68%	53%	60%	73%	92%		
0,6 y	1,608	91%	70%	71%	66%	60%	64%		
0,8 y	2,144	93%	75%	65%	51%	35%	33%		
irante "y	2,7m			ONA MEDIA					
Distanc	ia de pared	1	2	3	4	5	6		
(m) h	orizontal	0 m	1m	2 m	3 m	4 m	5 m		
Desfer	didad (m)		POI	RCENTAJE I	DE VARIAC	IÓN			
Profun	aidad (iii)	1	2	3	4	5	6		
0,2 y	0,525	67%	-8%	-9%	-2%	9%	65%		
0,6 y	1,575	60%	15%	7%	18%	28%	71%		
0,8 y	2,1	75%	25%	18%	23%	33%	65%		
Tirante "y	2,56m	SECCIÓ	N EN LA EN	NTRADA A I	LA ZONA DI	E SEDIMENT	ΓACIÓN		
Distanc	ia de pared	1	2	3	4	5	6		
(m) h	orizontal	0 m	1m	2 m RCENTAJE I	3 m	4 m	5 m		
Profun	didad (m)								
Tiorun	uluau (III)	1	2	3	4	5	6		
0,2 y	0,512	-65%	-39%	53%	-22%	3%	74%		
0,6 y	1,536	-45%	-85%	-136%	-11%	16%	45%		
0,8 y	2,048	21%	-152%	-31%	4%	2%	48%		
Tirante "y	0,53m	SECCIÓ	N DE ENTR	ADA CON T	RANSICIÓN	l "85cm"			
	ia de pared	1	2	3	4	5			
(m) h	orizontal	0,14 m	0,28 m	0,42 m	0,56 m	0,71 m			
Profun	didad (m)		PORCEN'	ΓAJE DE VA	RIACIÓN				
Tiorun	didad (III)	1	2	3	4	5			
0,6 y	0,318	-27%	-22%	-27%	11%	-21%			
irante "y 0,66m SECCIÓN EN CANAL DE ENTRADA "60cm"									
	ia de pared	1	2	3	4	5			
(m) h	orizontal	0,10 m	0,20 m	0,30 m	0,40 m	0,50 m			
Profun	didad (m)			ΓAJE DE VA	RIACIÓN				
	` ′	1	2	3	4	5			
0,6 y	0,396	2%	5%	-1%	5%	2%			

Porcentaje de variación en estructura con nuevo diseño vs estructura actual.

Porcentaje de variación en estructura con nuevo diseño vs estructura actual. ESTRUCTURA CON NUEVO DISEÑO										
		URADAS EN					RE " $Q = 339 \text{ L/S}$ "			
Tirante "y"	3,1m			ECCIÓN EN						
Distancia d	-	1	2	3	4	5	6			
horiz	ontal	0 m	1m	2 m	3 m	4 m	5 m			
Profundi	dad (m)			PORCENTAJ						
	` '	1	2	3	4	5	6			
0,2 y	0,536	87%	84%	81%	78%	77%	89%			
0,6 y	1,608	70%	80%	68%	60%	73%	42%			
0,8 y	2,144	71%	78%	66%	44%	52%	38%			
Tirante "y"	2,7m		SECCIÓN			IMENTACIÓ	ÓN			
	e pared (m)	1	2	3	4	5	6			
horiz	ontal	0 m	1m	2 m	3 m	4 m	5 m			
Profundi	dad (m)			PORCENTAJ						
Troruna	idad (III)	1	2	3	4	5	6			
0,2 y	0,525	66%	71%	49%	27%	68%	53%			
0,6 y	1,575	59%	83%	64%	48%	72%	35%			
0,8 y	2,1	80%	89%	71%	59%	78%	42%			
Tirante "y"	2,56m	SECO	CIÓN EN LA	ENTRADA	A LA ZONA	DE SEDIME	ENTACIÓN			
Distancia d	e pared (m)	1	2	3	4	5	6			
horiz	ontal	0 m	1m	2 m PORCENTAJ	3 m	4 m	5 m			
Profundi	dad (m)									
Fioruna	idad (III)	1	2	3	4	5	6			
0,2 y	0,512	-250%	52%	25%	-118%	22%	-32%			
0,6 y	1,536	66%	75%	39%	-1%	26%	-50%			
0,8 y	2,048	58%	87%	65%	24%	-21%	-107%			
Tirante "y"	0,53m	SECCIÓ	N DE ENTR	ADA CON T	RANSICIÓN	N "85cm"				
Distancia d	e pared (m)	1	2	3	4	5				
horiz	ontal	0,14 m	0,28 m	0,42 m	0,56 m	0,71 m				
Duo firm di	dod (m)		PORCEN'	ГАЈЕ DE VA	RIACIÓN					
Profundi	dad (m)	1	2	3	4	5				
0,6 y	0,318	23%	-14%	-55%	-105%	-120%				
Tirante "y" 0,66m SECCIÓN EN CANAL DE ENTRADA "60cm"										
Distancia d	e pared (m)	1	2	3	4	5				
horiz	ontal	0,10 m	0,20 m	0,30 m	0,40 m	0,50 m				
D C 1	dod (uc)		PORCEN'	TAJE DE VA	RIACIÓN					
Profundi	dad (m)	1	2	3	4	5				
0,6 y	0,396	19%	-9%	-24%	-9%	14%				

CRONOGRAMA DE EJECUCION FISICA

			MES 1			MES 2				MES 3				
Nº	Descripción	Und.	1	2	3	4	1	2	3	4	1	2	3	4
	DESARENADOR													
1	REPLANTEO DE ESTRUCTURAS Y EDIFICACIONES	m²		X										
2	REPLANTEO Y CONTROL DE LINEAS DE TUBERÍA	m		X										
3	EXCAVACIÓN CON RETROEXCAVADORAS	m^3			X									
4	H°.A°. BASE H20 NBH-87	m³				X	X							
5	H°.A°. MUROS H20 NBH-87	m^3						X	X	X				
6	PROV. COLOCACION DE ACCESORIOS LLAVE DE PASO F.F. 8 Pulg	pza									X			
7	PROV. Y TENDIDO DE TUBERÍA PVC D=8" - C-6 (JUNTA DE GOMA)	m									X			
8	CAMA DE ARENA PARA ASIENTO DE TUBERÍA	m^3										Х		
9	RELLENO Y COMPACTADO CON MATERIAL SELECCIONADO	m³										X		
10	RELLENO COMPACT. C/SALTARIN CON TIERRA COMÚN	m³										X		
11	H°.A°. CAMARA	m³											X	X
12	DEMOLICIÓN MAMPOSTERÍA DE PIEDRA/CEMENTO	m³	X											

COMPUTOS MÉTRICOS

DESARENADOR

Nº	ACTIVIDAD	UNIDAD	PARTES IGUALES	LARGO	ANCHO/ DIAM	ALTO	AREA	PARCIAL	TOTAL
			IGUALES	m	m	m	m2		
1	REPLANTEO DE ESTRUCTURAS Y EDIFICACIONES	M2							184,72
	DESARENADOR		1	33,91	5,40			183,11	
	CAMARA		1	1,40	1,15			1,61	
2	REPLANTEO Y CONTROL DE LINEAS DE TUBERIA	ML							24,00
-	TUBO PVC 8" CLASE 6	IVIL	1	24,00				24,00	24,00
	TOBO PVC 6 CLASE 6		'	24,00				24,00	
3	EXCAVACION CON RETROEXCAVADORAS	M3							686,05
	DESARENADOR (CON SOBREANCHO DE 1 METRO)		1	35,91	7,40	2,50		664,34	ŕ
	TUBO PVC 8" CLASE 6		1	24,00	0,60	1,00		14,40	
	CAMARA		1	2,15	3,40	1,00		7,31	
4	HO.AO. BASE H20 NBH-87	М3		0.00	0.00	0.00		0.04	33,26
	CANAL		2	2,00	0,80	0,20	0.50	0,64	
	T. ENTRADA		1	04.00	5.00	0,20	3,59	0,72	
	DESARENADOR		1	31,00	5,00	0,20	0.50	31,00	
	T. SALIDA CAMARA		1	1,00	0,95	0,20 0,20	3,59	0,72 0,19	
5	HO.AO.MUROS H20 NBH-87	M3	'	1,00	0,95	0,20		0,19	54.46
-	CANAL	WIS	2	2,00	0,20	1,00		0,80	34,40
	T. ENTRADA		2	2,00	0,20	1,50	0,55	1,66	
	DESARENADOR		2	31,00	0,20	4,00	0,55	49,60	
	T.SALIDA		2	31,00	0,20	1,50	0,55	1,66	
	CAMARA		2	1,15	0,20	1,00	0,00	0,46	
			1	1,40	0,20	1,00		0,28	
				.,	5,25	.,		5,=5	
6	PROV. COLOCACION DE ACCESORIOS LLAVE DE PASO DE	PZA							1,00
Ĭ	BRONCE. 8 Pulg.	124							1,00
			1					1,00	
	PROV. Y TENDIDO DE TUBERIA PVC 8" - C-6 (JUNTA DE								
7	GOMA)	ML							24
	Commy		1	24,00				24	
				,					
8	CAMA DE ARENA PARA ASIENTO DE TUBERIA	М3							1,44
			1	24,00	0,6	0,1		1,44	
9	RELLENO Y COMPACTADO CON MATERIAL SELECCIONADO	М3							5,76
			1	24,00	0,6	0,4		5,76	
40	DELLENO COMPACT. C/CALTARIN CONTIERRA COMUN	Mo							400.75
10	RELLENO COMPACT. C/SALTARIN CON TIERRA COMUN EN TUBERIA	М3	1	24.00	0,6	0,5		7,20	186,75
	LATERALES EXTERIORES DEL DESARENADOR		2	24,00 35,91	0,6	0,5 2,5		7,20 179,55	
	LATERALES EXTERIORES DEL DESARENADOR		2	33,91	'	2,5		179,55	
11	HO.AO.LOSA TAPA	M3							1,23
	LOSA PASARELA DESARENADOR		1	2,00	5,40	0,10		1,08	.,
	TAPA DE LA CAMARA DE LLAVES		1	1,40	1,35	0,08		0,15	
12	DEMOLICION MAMPOSTERIA DE PIEDRA/CEMENTO	М3							14,26
	BASE		1	35,66	8,0	0,2		5,71	
	MUROS		2	35,66	0,2	0,6		8,56	

Item: REPLANTEO DE ESTRUCTURAS Y EDIFICACIONES Proyecto: DESARENADOR Módulo: (M02) - DESAREN 1

Unidad: m² Fecha:

Tipo de cambio: 6,98

Nº	P.	Insumo/Parámetro	Und.	Cant.	Unit. (Bs)	Parcial (Bs)
	Α	MATERIALES				
1	-	VARIOS DE REPLANTEO	glb	1,00	2,67	2,67
>	D	TOTAL MATERIALES			(A) =	2,67
	В	MANO DE OBRA				
1	-	TOPOGRAFO	hr	0,04	20,00	0,80
2	-	PEON	hr	0,04	12,00	0,48
>	E	SUBTOTAL MANO DE OBRA			(B) =	1,28
	F	Cargas Sociales		55,00% de	(E) =	0,70
	0	Impuesto al Valor Agregado		14,94% de	(E+F) =	0,30
>	G	TOTAL MANO DE OBRA			(E+F+O) =	2,28
	С	EQUIPO, MAQUINARIA Y HERRAMIEN				
	Н	Herramientas menores		5,00% de	(G) =	0,11
>	ı	TOTAL HERRAMIENTAS Y EQUIPO			(C+H) =	0,11
>	J	SUB TOTAL			(D+G+I) =	5,06
	L	Gastos grales. y administrativ		10,00% de	(J) =	0,51
	M	Utilidad		10,00% de	(J+L) =	0,56
>	N	PARCIAL			(J+L+M) =	6,13
	Р	Impuesto a las Transacciones		3,09% de	(N) =	0,19
>	Q	TOTAL PRECIO UNITARIO			(N+P) =	6,32
>		PRECIO ADOPTADO:				6,32
1	1					·

Item: REPLANTEO Y CONTROL DE LINEAS DE TUBERIA Proyecto: DESARENADOR Módulo: (M02) - DESAREN

Unidad: pza Fecha:

Tipo de cambio: 6,98

Nº	P.	Insumo/Parámetro	Und.	Cant.	Unit. (Bs)	Parcial (Bs)
	Α	MATERIALES				
1	-	ESTACAS(2X2X0.30)	pza	2,00	1,69	3,38
>	D	TOTAL MATERIALES			(A) =	3,38
	В	MANO DE OBRA				
1	-	TOPOGRAFO	hr	0,01	17,50	0,18
2	-	ALARIFE	hr	0,01	12,00	0,12
	-					
>	E	SUBTOTAL MANO DE OBRA			(B) =	0,30
	F	Cargas Sociales		55,00% de	(E) =	0,16
	0	Impuesto al Valor Agregado		14,94% de	(E+F) =	0,07
>	G	TOTAL MANO DE OBRA			(E+F+O) =	0,53
	С	EQUIPO, MAQUINARIA Y HERRAMIEN				
	Н	Herramientas menores		5,00% de	(G) =	0,03
>	I	TOTAL HERRAMIENTAS Y EQUIPO			(C+H) =	0,03
>	J	SUB TOTAL			(D+G+I) =	3,93
	L	Gastos grales. y administrativ		10,00% de	(J) =	0,39
	M	Utilidad		10,00% de	(J+L) =	0,43
>	N	PARCIAL			(J+L+M) =	4,76
	Р	Impuesto a las Transacciones		3,09% de	(N) =	0,15
>	Q	TOTAL PRECIO UNITARIO			(N+P) =	4,90
>		PRECIO ADOPTADO:				4,90

Item: EXCAVACION CON RETROEXCAVADORAS Proyecto: DESARENADOR Módulo: (M02) - DESAREN

3

Unidad: m³ Fecha:

Tipo de cambio: 6,98

Nº	P.	Insumo/Parámetro	Und.	Cant.	Unit. (Bs)	Parcial (Bs)
	Α	MATERIALES				
		RETROEXCAVADORA,	hr	0,06	210,00	12,60
>	D	TOTAL MATERIALES			(A) =	12,60
	В	MANO DE OBRA				
1	-	OPERADOR DE EQUIPO PESADO	hr	0,07	23,00	1,61
2	-	AYUDANTE	hr	0,05	15,00	0,75
>	E	SUBTOTAL MANO DE OBRA			(B) =	2,36
	F	Cargas Sociales		55,00% de	(E) =	1,30
	0	Impuesto al Valor Agregado		14,94% de	(E+F) =	0,55
>	G	TOTAL MANO DE OBRA			(E+F+O) =	4,20
	С	EQUIPO, MAQUINARIA Y HERRAMIEN				
1	-	RETROEXCAVADORA	hr	0,05	420,00	21,00
	Н	Herramientas menores		5,00% de	(G) =	0,21
>	ı	TOTAL HERRAMIENTAS Y EQUIPO			(C+H) =	21,21
>	J	SUB TOTAL			(D+G+I) =	38,01
	L	Gastos grales. y administrativ		10,00% de	(J) =	3,80
	М	Utilidad		10,00% de	(J+L) =	4,18
>	N	PARCIAL			(J+L+M) =	46,00
	Р	Impuesto a las Transacciones		3,09% de	(N) =	1,42
>	Q	TOTAL PRECIO UNITARIO			(N+P) =	47,42
>		PRECIO ADOPTADO:				47,42

Item: HO.AO. BASE H20 NBH-87 Proyecto: DESARENADOR Módulo: (M02) - DESAREN

Unidad: m³

Fecha: Tipo de cambio: 6,98

		Wodulo. (WOZ) - DESAREN	ripo de cambio. 0,36				
Nº	P.	Insumo/Parámetro	Und.	Cant.	Unit. (Bs)	Parcial (Bs)	
	Α	MATERIALES					
1	-	CEMENTO PORTLAND	kg	350,00	1,15	402,50	
2	-	ARENA	m³	0,45	120,00	54,00	
3	-	GRAVA	m³	0,92	140,00	128,80	
4	-	MADERA DE ENCOFRADO	pie ²	70,00	8,00	560,00	
5	-	ACERO ALTA RESISTENCIA	kg	55,00	8,42	463,10	
6	-	ALAMBRE NEGRO DE AMARRE	kg	1,00	14,00	14,00	
7	-	CLAVOS	kg	0,80	14,00	11,20	
>	D	TOTAL MATERIALES			(A) =	1.633,60	
	В	MANO DE OBRA					
1	-	ALBAÑIL	hr	24,00	20,00	480,00	
2	-	PEON	hr	24,00	15,00	360,00	
>	E	SUBTOTAL MANO DE OBRA			(B) =	840,00	
	F	Cargas Sociales		55,00% de	(E) =	462,00	
	0	Impuesto al Valor Agregado		14,94% de	(E+F) =	194,52	
>	G	TOTAL MANO DE OBRA			(E+F+O) =	1.496,52	
	С	EQUIPO, MAQUINARIA Y HERRAMIEN					
1	-	HORMIGONERA	hr	1,00	24,00	24,00	
2	-	VIBRADORA	hr	0,80	15,00	12,00	
	Н	Herramientas menores		5,00% de	(G) =	74.02	
_	н.			5,00% de	(C+H) =	74,83	
>	<u> </u>	TOTAL HERRAMIENTAS Y EQUIPO SUB TOTAL		_		110,83	
>	J	Gastos grales. y administrativ		10.000/ -1-	(D+G+I) = (J) =	3.240,94	
	L			10,00% de	. ,	324,09	
	M N	Utilidad PARCIAL		10,00% de	(J+L) =	356,50	
1	N P			2 000/ do	(J+L+M) =	3.921,54	
	۲	Impuesto a las Transacciones		3,09% de	(N) =	121,18	
>	Q	TOTAL PRECIO UNITARIO			(N+P) =	4.042,72	
>		PRECIO ADOPTADO:				4.042,72	

5 Item: HO.AO. MUROS H20 NBH-87 Proyecto: DESARENADOR Módulo: (M02) - DESAREN

Unidad: m³ Fecha:

Tipo de cambio: 6,98

Nº	Р.	Insumo/Parámetro	Und.	Cant.	Unit. (Bs)	Parcial (Bs)
	Α	MATERIALES			, ,	, ,
1	-	CEMENTO PORTLAND	kg	350,00	1,15	402,50
2	-	ARENA	m³	0,45	120,00	54,00
3	-	GRAVA	m³	0,92	140,00	128,80
4	-	MADERA DE ENCOFRADO	pie²	70,00	8,00	560,00
5	-	ACERO ALTA RESISTENCIA	kg	110,00	8,42	926,20
6	-	ALAMBRE NEGRO DE AMARRE	kg	1,00	14,00	14,00
7	-	CLAVOS	kg	0,80	14,00	11,20
>	D	TOTAL MATERIALES			(A) =	2.096,70
	В	MANO DE OBRA				
1	-	ALBAÑIL	hr	24,00	20,00	480,00
2	-	PEON	hr	24,00	15,00	360,00
>	E	SUBTOTAL MANO DE OBRA			(B) =	840,00
	F	Cargas Sociales		55,00% de	(E) =	462,00
	0	Impuesto al Valor Agregado		14,94% de	(E+F) =	194,52
>	G	TOTAL MANO DE OBRA			(E+F+O) =	1.496,52
	С	EQUIPO, MAQUINARIA Y HERRAMIEN				
1	-	HORMIGONERA	hr	1,00	24,00	24,00
2	-	VIBRADORA	hr	0,80	15,00	12,00
	Н	Herramientas menores		5,00% de	(G) =	74,83
>	I	TOTAL HERRAMIENTAS Y EQUIPO			(C+H) =	110,83
>	J	SUB TOTAL			(D+G+I) =	3.704,04
	L	Gastos grales. y administrativ		10,00% de	(J) =	370,40
	M	Utilidad		10,00% de	(J+L) =	407,44
>	N	PARCIAL			(J+L+M) =	4.481,89
	Р	Impuesto a las Transacciones		3,09% de	(N) =	138,49
					(a. a.)	
>	Q	TOTAL PRECIO UNITARIO			(N+P) =	4.620,38
>		PRECIO ADOPTADO:				4.620,38
1	I				i	

Item: PROV. COLOCACION DE ACCESORIOS LLAVE DE PASO Proyecto: DESARENADOR Módulo: (MO2) - DESAREN 6

Unidad: PZA Fecha:

Tipo de cambio: 6,98

Nº	P.	Insumo/Parámetro	Und.	Cant.	Unit. (Bs)	Parcial (Bs)
	Α	MATERIALES				
1	-	LLAVE DE PASO + ACCESORIOS	glb	1,00	2.500,00	2.500,00
>	D	TOTAL MATERIALES			(A) =	2.500,00
_	В	MANO DE OBRA			(A) -	2.300,00
_	В			0.00	40.00	444.00
1	-	PLOMERO	hr	8,00		144,00
2	-	AYUDANTE	hr	16,00	13,00	208,00
>	E	SUBTOTAL MANO DE OBRA			(B) =	352,00
	F	Cargas Sociales		55,00% de	(E) =	193,60
	0	Impuesto al Valor Agregado		14,94% de	(E+F) =	81,51
>	G	TOTAL MANO DE OBRA			(E+F+O) =	627,11
	С	EQUIPO, MAQUINARIA Y HERRAMIEN				
	Н	Herramientas menores		5,00% de	(G) =	31,36
>	ı	TOTAL HERRAMIENTAS Y EQUIPO			(C+H) =	31,36
>	J	SUB TOTAL			(D+G+I) =	3.158,47
	L	Gastos grales. y administrativ		10,00% de	(J) =	315,85
	M	Utilidad		10,00% de	(J+L) =	347,43
>	N	PARCIAL			(J+L+M) =	3.821,75
	Р	Impuesto a las Transacciones		3,09% de	(N) =	118,09
>	Q	TOTAL PRECIO UNITARIO			(N+P) =	3.939,84
>		PRECIO ADOPTADO:				3.939,84
	1	i		1	1	

Item: PROV. Y TENDIDO DE TUBERIA PVC D=8" C-6 (JUNTA DE GOMA) Unidad: ML Proyecto: DESARENADOR Fecha: Módulo: (M02) - DESAREN Tipo de cami 7

Tipo de cambio: 6,98

Nº	P.	Insumo/Parámetro	Und.	Cant.	Unit. (Bs)	Parcial (Bs)
	Α	MATERIALES				
1	-	TUBERIA PVC D=8" C-6 (JUNTA DE GOMA)	ml	1,00	421,80	421,80
		LUBRICANTE	lt	0,02	40,00	0,80
>	D	TOTAL MATERIALES			(A) =	422,60
	В	MANO DE OBRA				
1	-	PLOMERO	hr	0,10	18,00	1,80
2	-	AYUDANTE	hr	0,10	13,00	1,30
>	E	SUBTOTAL MANO DE OBRA			(B) =	3,10
	F	Cargas Sociales		55,00% de	(E) =	1,71
	0	Impuesto al Valor Agregado		14,94% de	(E+F) =	0,72
>	G	TOTAL MANO DE OBRA			(E+F+O) =	5,52
	С	EQUIPO, MAQUINARIA Y HERRAMIEN				
	Н	Herramientas menores		5,00% de	(G) =	0,28
>	I	TOTAL HERRAMIENTAS Y EQUIPO			(C+H) =	0,28
>	J	SUB TOTAL			(D+G+I) =	428,40
	L	Gastos grales. y administrativ		10,00% de	(J) =	42,84
	M	Utilidad		10,00% de	(J+L) =	47,12
>	N	PARCIAL			(J+L+M) =	518,36
	Р	Impuesto a las Transacciones		3,09% de	(N) =	16,02
>	Q	TOTAL PRECIO UNITARIO			(N+P) =	534,38
>		PRECIO ADOPTADO:				534,38
1						

Item: CAMA DE ARENA PARA ASIENTO DE TUBERIA Proyecto: DESARENADOR Módulo: (M02) - DESAREN 8

Fecha: Tipo de cambio: 6,98

Unidad: M3

Nº	P.	Insumo/Parámetro	Und.	Cant.	Unit. (Bs)	Parcial (Bs)
	Α	MATERIALES				
1	-	TIERRA SELECCIONADA	m³	1,00	50,00	50,00
	-					
	1					
>	D	TOTAL MATERIALES			(A) =	50,00
	В	MANO DE OBRA				
1	-	ALBAÑIL	hr	0,05	20,00	1,00
2	-	PEON	hr	0,10	15,00	1,50
>	E	SUBTOTAL MANO DE OBRA			(B) =	2,50
	F	Cargas Sociales		55,00% de	(E) =	1,38
	0	Impuesto al Valor Agregado		14,94% de	(E+F) =	0,58
>	G	TOTAL MANO DE OBRA			(E+F+O) =	4,45
	С	EQUIPO, MAQUINARIA Y HERRAMIEN				
	-					
	Н	Herramientas menores		5,00% de	(G) =	0,22
>	ı	TOTAL HERRAMIENTAS Y EQUIPO			(C+H) =	0,22
>	J	SUB TOTAL			(D+G+I) =	54,68
	L	Gastos grales. y administrativ		10,00% de	(J) =	5,47
	M	Utilidad		10,00% de	(J+L) =	6,01
>	N	PARCIAL			(J+L+M) =	66,16
	Р	Impuesto a las Transacciones		3,09% de	(N) =	2,04
_	Q	TOTAL PRECIO UNITARIO			(N+P) =	68,20
>	_	PRECIO ADOPTADO:			(1411 / 2	68,20
						55,20

Item: RELLENO Y COMPACTADO CON MATERIAL SELECCIONADO

Proyecto: DESARENADOR Módulo: (M02) - DESAREN

9

Unidad: m³ Fecha:

Tipo de cambio: 6,98

Nº	Ρ.	Insumo/Parámetro	Und.	Cant.	Unit. (Bs)	Parcial (Bs)
	Α	MATERIALES				
1		TIERRA SELECCIONADA	m³	1,00	50,00	50,00
>	D	TOTAL MATERIALES			(A) =	50,00
	В	MANO DE OBRA				
1	-	ALBAÑIL	hr	0,10	20,00	2,00
2		AYUDANTE	hr	0,20	15,00	3,00
>	E	SUBTOTAL MANO DE OBRA			(B) =	5,00
	F	Cargas Sociales		55,00% de	(E) =	2,75
	0	Impuesto al Valor Agregado		14,94% de	(E+F) =	1,16
>	G	TOTAL MANO DE OBRA			(E+F+O) =	8,91
	С	EQUIPO, MAQUINARIA Y HERRAMIEN				
	Н	Herramientas menores		5,00% de	(G) =	0,45
>		TOTAL HERRAMIENTAS Y EQUIPO			(C+H) =	0,45
>	J	SUB TOTAL			(D+G+I) =	59,35
	L	Gastos grales. y administrativ		10,00% de	(J) =	5,94
	M	Utilidad		10,00% de	(J+L) =	6,53
>	N	PARCIAL			(J+L+M) =	71,82
	Р	Impuesto a las Transacciones		3,09% de	(N) =	2,22
>	Q	TOTAL PRECIO UNITARIO			(N+P) =	74,04
>		PRECIO ADOPTADO:				74,04

10 Item: RELLENO COMPACT. C/SALTARIN CON TIERRA COMUN Proyecto: DESARENADOR Módulo: (M02) - DESAREN

Unidad: m³ Fecha:

Tipo de cambio: 6,98

Nº	P.	Insumo/Parámetro	Und.	Cant.	Unit. (Bs)	Parcial (Bs)
	Α	MATERIALES				
		TIERRA COMUN	m³	1,00	50,00	50,00
>	D	TOTAL MATERIALES			(A) =	50,00
	В	MANO DE OBRA				
1	-	PEON	hr	1,00	15,00	15,00
2	-	OPERADOR DE COMPACTADORA	hr	0,50	21,00	10,50
>	E	SUBTOTAL MANO DE OBRA			(B) =	25,50
	F	Cargas Sociales		55,00% de	(E) =	14,03
	0	Impuesto al Valor Agregado		14,94% de	(E+F) =	5,91
>	G	TOTAL MANO DE OBRA			(E+F+O) =	45,43
	С	EQUIPO, MAQUINARIA Y HERRAMIEN				
1	-	COMPACTADORA DE PLANCHA	hr	0,50	38,00	19,00
	Н	Herramientas menores		5,00% de	(G) =	2,27
>	I	TOTAL HERRAMIENTAS Y EQUIPO			(C+H) =	21,27
>	J	SUB TOTAL			(D+G+I) =	116,70
	L	Gastos grales. y administrativ		10,00% de	(J) =	11,67
	М	Utilidad		10,00% de	(J+L) =	12,84
>	N	PARCIAL			(J+L+M) =	141,21
	Р	Impuesto a las Transacciones		3,09% de	(N) =	4,36
>	Q	TOTAL PRECIO UNITARIO			(N+P) =	145,57
>		PRECIO ADOPTADO:				145,57

11

Unidad: m³ Fecha:

Tipo de cambio: 6,98

Nº	P.	Insumo/Parámetro	Und.	Cant.	Unit. (Bs)	Parcial (Bs)
	Α	MATERIALES				
1	-	CEMENTO PORTLAND	kg	350,00	1,15	402,50
2	-	ARENA	m³	0,40	120,00	48,00
3	-	GRAVA	m³	0,80	140,00	112,00
4	-	MADERA DE ENCOFRADO	pie²	20,00	8,00	160,00
5	-	ACERO ALTA RESISTENCIA	kg	120,00	8,42	1.010,40
6	-	ALAMBRE NEGRO DE AMARRE	kg	2,00	14,00	28,00
7	-	CLAVOS	kg	2,00	14,00	28,00
>	D	TOTAL MATERIALES			(A) =	1 700 00
>	В				(A) =	1.788,90
1	В	MANO DE OBRA ALBAÑIL	hr	33,00	20,00	660,00
	-					
2	-	PEON	hr	38,00	15,00	570,00
>	E	SUBTOTAL MANO DE OBRA			(B) =	1.230,00
	F	Cargas Sociales		55,00% de	(E) =	676,50
	0	Impuesto al Valor Agregado		14,94% de	(E+F) =	284,83
>	G	TOTAL MANO DE OBRA			(E+F+O) =	2.191,33
	С	EQUIPO, MAQUINARIA Y HERRAMIEN				
1	-	HORMIGONERA	hr	0,50	24,00	12,00
2	-	VIBRADORA	hr	0,50	15,00	7,50
	Н	Herramientas menores		5,00% de	(G) =	109,57
>	ı	TOTAL HERRAMIENTAS Y EQUIPO			(C+H) =	129,07
>	J	SUB TOTAL			(D+G+I) =	4.109,30
	L	Gastos grales. y administrativ		10,00% de	(J) =	410,93
	M	Utilidad		10,00% de	(J+L) =	452,02
>	N	PARCIAL			(J+L+M) =	4.972,25
-	Р	Impuesto a las Transacciones		3,09% de	(N) =	153,64
_	Q	TOTAL PRECIO UNITARIO			(N+P) =	5.125,89
$\overline{}$	4	PRECIO ADOPTADO:			(1417) =	5.125,89
		PRECIO ADOFTADO.				3.123,65
	<u> </u>			1		

Item: DEMOLICION MAMPOSTERIA DE PIEDRA/CEMENTO Proyecto: DESARENADOR Módulo: (M02) - DESAREN 12

Unidad: m³ Fecha:

Tipo de cambio: 6,98

		Modulo: (MUZ) - DESAREN		Tipo de cambio: 6,98				
Nº	P.	Insumo/Parámetro	Und.	Cant.	Unit. (Bs)	Parcial (Bs)		
	Α	MATERIALES						
>	D	TOTAL MATERIALES			(A) =	0,00		
	В	MANO DE OBRA						
1	-	ALBAÑIL	hr	2,00	20,00	40,00		
2	-	PEON	hr	10,00	15,00	150,00		
>	E	SUBTOTAL MANO DE OBRA			(B) =	190,00		
	F	Cargas Sociales		55,00% de	(E) =	104,50		
	0	Impuesto al Valor Agregado		14,94% de	(E+F) =	44,00		
>	G	TOTAL MANO DE OBRA			(E+F+O) =	338,50		
	С	EQUIPO, MAQUINARIA Y HERRAMIEN						
1	-	HORMIGONERA	hr	0,50	24,00	12,00		
2	-	VIBRADORA	hr	0,50	15,00	7,50		
	Н	Herramientas menores		5,00% de	(G) =	16,92		
>		TOTAL HERRAMIENTAS Y EQUIPO			(C+H) =	36,42		
>	j	SUB TOTAL			(D+G+I) =	374,92		
	L	Gastos grales. y administrativ		10,00% de	(J) =	37,49		
	М	Utilidad		10,00% de	(J+L) =	41,24		
>	N	PARCIAL		,,,,,,,,,,,,,,,,,,,,,,,,,,,,,,,,,,,,,,,	(J+L+M) =	453,66		
	Р	Impuesto a las Transacciones		3,09% de	(N) =	14,02		
	1			ľ		,-		
>	Q	TOTAL PRECIO UNITARIO			(N+P) =	467,68		
>		PRECIO ADOPTADO:				467,68		

PRESUPUESTO GENERAL

B.- DESARENADOR

Nº	Descripción	Und.	Cantidad	Unitario	Parcial (Bs)
1	REPLANTEO DE ESTRUCTURAS Y EDIFICACIONES	M2	184,72	6,32	1.166,96
2	REPLANTEO Y CONTROL DE LINEAS DE TUBERIA	ML	24,00	4,90	117,71
3	EXCAVACION CON RETROEXCAVADORAS	М3	686,05	47,42	32.531,91
4	HO.AO. BASE H20 NBH-87	М3	33,26	4.042,72	134.477,00
5	HO.AO. MUROS H20 NBH-88	М3	54,46	4.620,38	251.644,63
6	PROV. COLOCACION DE ACCESORIOS LLAVE DE PASO F.F. 8 Pulg	M2	1,00	3.939,84	3.939,84
7	PROV. Y TENDIDO DE TUBERIA PVC D=8" - C-6 (JUNTA DE GOMA)	ML	24,00	534,38	12.825,13
8	CAMA DE ARENA PARA ASIENTO DE TUBERIA	M3	1,44	68,20	98,21
9	RELLENO Y COMPACTADO CON MATERIAL SELECCIONADO	М3	5,76	74,04	426,45
10	RELLENO COMPACT. C/SALTARIN CON TIERRA COMUN	М3	186,75	145,57	27.185,61
11	HO.AO.LOSA TAPA	М3	1,23	5.125,89	6.311,00
12	DEMOLICION MAMPOSTERIA DE PIEDRA/CEMENTO	М3	14,26	467,68	6.670,92
	Total presupuesto:				477.395,36